



เครื่องกำเนิดสัญญาณพีดับเบิลเอ็ม

PWM SIGNAL GENERATOR



นายเอกพจน์ อินเจีย รหัส 50381727

นายสุรพงษ์ มะหลีเก้า รหัส 50383097

ท้องถิ่นคุณและวิกวิกรรมศาสตร์	19, พ.ศ. 2555
วันที่รับ.....
เลขทะเบียน.....	1573650X
เลขเรียงหนังสือ.....	N6.
มหาวิทยาลัยนเรศวร บ.878 ห. 2/3	

ปริญญานิพนธ์นี้เป็นส่วนหนึ่งของการศึกษาหลักสูตรปริญญาวิគุรุณศาสตรบัณฑิต
สาขาวิชาชีวกรรมไฟฟ้า ภาควิชาชีวกรรมไฟฟ้าและคอมพิวเตอร์
คณะวิគุรุณศาสตร์ มหาวิทยาลัยนเรศวร
ปีการศึกษา 2553



ใบรับรองปริญญาบัณฑิต

ชื่อหัวข้อโครงการ เครื่องกำเนิดสัญญาณไฟดับเบิลยูเอ็น
ผู้ดำเนินโครงการ นายเอกพจน์ อิมเจิว รหัส 50381727
ที่ปรึกษาโครงการ ดร. นิพัทธ์ จันทร์มนิหาร
สาขาวิชา วิศวกรรมไฟฟ้า
ภาควิชา วิศวกรรมไฟฟ้าและคอมพิวเตอร์
ปีการศึกษา 2553

คณะกรรมการค่าสคร. มหาวิทยาลัยนเรศวร อนุมัติให้ปริญญาบัณฑิตนี้เป็นส่วนหนึ่ง
ของการศึกษาตามหลักสูตรวิศวกรรมศาสตรบัณฑิต สาขาวิชาวิศวกรรมไฟฟ้า

(ดร. นิพัทธ์ จันทร์มนิหาร) ที่ปรึกษาโครงการ

(ดร. แฉทรียา สุวรรณศรี) กรรมการ

(ดร. ศุภารัตน์ พลพิทักษ์) กรรมการ

ชื่อหัวข้อโครงการ	เครื่องกำเนิดสัญญาณพีดับเบลยูเอ็ม	
ผู้ดำเนินโครงการ	นายเอกพจน์ อิ่มเจียว	รหัส 50381727
	นายสุรพงษ์ มะหลีแก้ว	รหัส 50383097
ที่ปรึกษาโครงการ	ดร. นิพัทธ์ จันทร์มนิธิ์	
สาขาวิชา	วิศวกรรมไฟฟ้า	
ภาควิชา	วิศวกรรมไฟฟ้าและคอมพิวเตอร์	
ปีการศึกษา	2553	

บทคัดย่อ

ประยุกต์นิพัทธ์บันนี่นำเสนอการสร้างสัญญาณพีดับเบลยูเอ็มจากการเปรียบเทียบสัญญาณสามเหลี่ยมกับสัญญาณแรงดันกระแสตรง แนวคิดในการดำเนินโครงการมาจากการปัจจุบันในการใช้บันนี่สวิตซ์ในตัวแปลงผันกำลังกระแสตรงด้วยไอซีสำหรับรูป เก่า NE555 ทำให้มีสามารถปรับค่าความถี่สวิตซิ่ง และไม่สามารถปรับค่าคิวตี้ไซเคิลที่แม่นยำได้ ส่งผลให้เกิดแรงดันด้านออกของวงจรที่คลาดเคลื่อน ในโครงการนี้จึงได้ออกแบบและสร้างเครื่องกำเนิดสัญญาณควบคุมสวิตซ์ ที่สามารถเลือกค่าความถี่สวิตซิ่งและค่าคิวต์ไซเคิลได้จากการอุดมด้วยความก้าวหน้าพัสดุหรือพีดับเบลยูเอ็ม โดยการสร้างสัญญาณสามเหลี่ยมนั้นด้วยไอซี LF351 มาเปรียบเทียบกับสัญญาณไฟแรงดันกระแสตรงซึ่งปรับค่าได้ตั้งแต่ 0-12 V สัญญาณพีดับเบลยูเอ็มที่ได้สามารถปรับค่าความถี่ได้ตั้งแต่ 1.5-100 kHz และปรับค่าคิวต์ไซเคิลได้ตั้งแต่ 0.1-1 โดยมีค่าของของสัญญาณ 8.4 V สัญญาณที่ได้สามารถนำไปใช้ทดสอบการทำงานของตัวแปลงผันกำลังที่ค่าความถี่สวิตซิ่งและคิวต์ไซเคิลต่าง ๆ

Project title	PWM Signal Generator	
Name	Mr. Ekkaphot Imkheaw	ID. 50381727
	Mr. Surapong Maleekeaw	ID. 50383097
Project advisor	Mr. Niphat Jantharamin, Ph.D.	
Major	Electrical Engineering	
Department	Electrical and Computer Engineering	
Academic year	2010	

Abstract

The thesis presents PWM signal generation via comparison between triangle waveform and a dc control voltage. The idea of carrying this project arose from switch-drive problems in dc power converters using ICs such as NE555, by which desired switching frequency and precise duty cycle of the switch control signal are hardly obtained. Therefore, the output voltage of the converter is often unacceptably deviated from a desired value. In this project, a switch-control signal is generated by means of pulse-width modulation, where the frequency and duty cycle can be adjusted. The PWM signal generator is accordingly devised and constructed in such a way that a triangle waveform produced by LF351 is compared with a dc voltage that can be varied between 0 and 12 V. This generator produces the pulse train of which the frequency can be adjusted in a range of 1.5-100 kHz while the duty cycle can be varied in a range of 0.1-1, and the peak value of the signal is 8.4 V. In particular, the generated PWM signal can be applied to power converters for testing purposes at different switching frequency and duty cycle values.

กิตติกรรมประกาศ

โครงการนี้สำเร็จลุล่วงไปได้ด้วยความกรุณาเป็นอย่างยิ่งจาก ดร. นิพัทธ์ จันทร์มินทร์ ซึ่งเป็นอาจารย์ที่ปรึกษาโครงการ และให้ความกรุณาในการตรวจทานปริญญานิพนธ์ คณะผู้ดำเนินโครงการขอรบกวนคุณเป็นอย่างสูงและขอระลึกถึงความกรุณาของท่านไว้ตลอดไป

ขอขอบคุณคณาจารย์ทุกท่านที่ประสิทธิ์ประสาทวิชาความรู้ให้กับคณะผู้ดำเนินงาน

นอกจากนี้ยังต้องขอขอบคุณภาควิชาศิลปกรรม ไฟฟ้าและคอมพิวเตอร์ ที่ให้ขึ้นอุปกรณ์ และเครื่องมือวัสดุมาใช้งาน จนทำให้โครงการนี้สำเร็จลุล่วงไปได้

เห็นอีสิ่งอื่นใด คณะผู้ดำเนินโครงการขอรบกวนคุณคุณพ่อ คุณแม่ ผู้อนุโมทนา รักความเมตตา สติปัญญา รวมทั้งเป็นผู้ให้ทุกสิ่งทุกอย่างดังเดิม เช่นเดิม ใจว่างบัน ด้วยเป็น กำลังใจทำให้ได้รับความสำเร็จอย่างทุกวันนี้ และขอขอบคุณทุกๆ คนในครอบครัวของคณะผู้ดำเนินโครงการที่ไม่ได้กล่าวไว้ ณ ที่นี่ด้วย

นายเอกพจน์ อิ่มเสี้ยว

นางสุรพงษ์ มะหดีแก้ว

สารบัญ

หน้า

ใบรับรองปริญญาบัตร.....	ก
บทคัดย่อภาษาไทย.....	ข
บทคัดย่อภาษาอังกฤษ.....	ค
กิตติกรรมประกาศ.....	ง
สารบัญ.....	จ
สารบัญตาราง.....	ฉ
สารบัญรูป.....	ฌ

บทที่ 1 บทนำ.....	๑
--------------------------	----------

1.1 ที่มาและความสำคัญของโครงการ	๑
1.2 วัตถุประสงค์ของโครงการ	๑
1.3 ขอบเขตของโครงการ.....	๒
1.4 ขั้นตอนและแผนการดำเนินงาน	๒
1.5 ประโยชน์ที่คาดว่าจะได้รับจากโครงการ	๓
1.6 งานประมาณ.....	๓

บทที่ 2 ทฤษฎีและหลักการที่เกี่ยวข้อง.....	๔
--	----------

2.1 สัญญาณพืดับเบลยูอีม.....	๔
2.2 สัญญาณฟินเลิ่ยและสัญญาณสามเหลี่ยม.....	๖
2.3 ออกแบบปี	๘
2.3.1 สัญลักษณ์และตัวถัง	๘
2.3.2 คุณสมบัติของออกแบบปี	๙
2.3.3 การทำงานของออกแบบปี	๑๑
2.3.4 การต่อออกแบบปีใช้งานทางอิเล็กทรอนิกส์	๑๒
2.4 ตัวเรียงกระแส	๑๓
2.4.1 ตัวเรียงกระแสแบบครึ่งคลื่น	๑๔

สารบัญ (ต่อ)

หน้า

2.4.2 ตัวเรียงกระแสเดิมคลื่นแบบที่ใช้หน้าเปล่งแทบกลาง	14
2.4.3 ตัวเรียงกระแสเดิมคลื่นแบบบริค์	15
2.4.4 วงจรกรองแบบใช้ตัวเก็บประจุ	16
2.5 ค่าดิวตี้ไฟเกิด	16
บทที่ 3 การสร้างสัญญาณพีคัมบ์ยอern	18
3.1 วงจรสร้างสัญญาณสามเหลี่ยม	18
3.1.1 การคำนวณหาความถี่	20
3.2 วงจรเปรียบเทียบ	20
3.2.1 ขั้นตอนการสร้างวงจร	21
3.3 วงจรสร้างไฟเกียง	23
3.3.1 การเลือกใช้งานอุปกรณ์	23
3.3.2 ขั้นตอนการสร้างวงจร	23
3.4 การประกอบวงจรสร้างสัญญาณพีคัมเบลยูอิern	25
บทที่ 4 ผลการทดสอบ	27
4.1 การทดสอบวงจรสร้างไฟเกียง	27
4.2 การทดสอบปรับค่าความถี่และค่าดิวตี้ไฟเกิด	28
4.3 การทดสอบหาข้อบกพร่องการทำงาน	34
4.4 การทดสอบการขับมอเตอร์ไฟด้วยวงจรทบระดับแรงดัน	35
บทที่ 5 สรุปและข้อเสนอแนะ	37
5.1 สรุปผลการดำเนินโครงการ	37
5.2 ปัญหาและแนวทางแก้ไข	37
5.3 แนวทางในการพัฒนาต่อไป	38

สารบัญ (ต่อ)

หน้า

เอกสารอ้างอิง	39
ภาคผนวก ก รายละเอียดของ ไอซีทีหมายเลข LM7815	40
ภาคผนวก ข รายละเอียดของ ไอซีทีหมายเลข LM7915	47
ภาคผนวก ค รายละเอียดของ ไอซีทีหมายเลข LF351	55
ประวัติผู้ดำเนินโครงการ	64



สารบัญตาราง

ตารางที่	หน้า
4.1 ค่าแรงดันด้านนอก กระแสเด้านเข้า กระแสเด้านออกทั้งจากการทดลองและคำนวณ ที่กำ�ิวต์ไฟฟ้า 0.1 – 0.7 ความถี่ 30 kHz	35



สารบัญรูป

รูปที่	หน้า
2.1 โครงสร้างการกำเนิดสัญญาณพีดับเบิลยูอีน.....	4
2.2 สัญญาณพีดับเบิลยูอีนทั่วไป (ก) สัญญาณอีนพีดับเบิลยูอีน (ข) สัญญาณบีดับเบิลยูอีน.....	5
2.3 โครงสร้างการกำเนิดสัญญาณพีดับเบิลยูอีนอย่างง่าย.....	5
2.4 สัญญาณฟันเดื่อย.....	6
2.5 สัญญาณสามเหลี่ยม	6
2.6 ลักษณะของสัญญาณที่ได้จากเครื่องกำเนิดสัญญาณพีดับเบิลยูอีน.....	7
2.7 สัญญาณของอุปกรณ์	8
2.8 ตัวถังของอุปกรณ์	9
2.9 การขยายสัญญาณกระแสสลับแบบถูกปีกโดยใช้วงจรกลับเพส	10
2.10 การขยายสัญญาณกระแสตรงแบบถูกปีกโดยใช้วงจรกลับเพส	10
2.11 การขยายสัญญาณกระแสสลับแบบถูกปีกโดยใช้วงจรไม่กลับเพส	10
2.12 การขยายสัญญาณกระแสตรงแบบถูกปีกโดยใช้วงจรไม่กลับเพส	11
2.13 การทำงานของอุปกรณ์ที่อินพุตค้านเคาะ	11
2.14 การทำงานของอุปกรณ์ที่อินพุตสองค้านแบบผลต่าง	12
2.15 การทำงานของอุปกรณ์ที่สองอินพุตแบบใหม่ทั่วไป	12
2.16 ลักษณะวงจรป้อนกลับแบบลบ	13
2.17 ลักษณะวงจรป้อนกลับแบบบวก	13
2.18 ตัวเรียงกระแสแบบครึ่งคลื่น	14
2.19 ตัวเรียงกระแสเต็มคลื่นแบบนีแทปกลาง	15
2.20 ตัวเรียงกระแสเต็มคลื่นแบบบริจจ์	15
2.21 ตัวเรียงกระแสเต็มคลื่นแบบใช้ตัวเก็บประจุกรอง	16
2.22 แรงดันค้านออกของวงจรสวิตชิ่งอย่างง่าย	17
3.1 รูปแสดงขาต่างๆของ LF351	18
3.2 วงจรสร้างสัญญาณสามเหลี่ยมจาก LF351.....	19
3.3 สัญญาณสามเหลี่ยมที่ได้สร้างขึ้นที่ความถี่ 1.5 kHz.....	19
3.4 วงจรเปรียบเทียบสัญญาณ	21
3.5 สัญญาณพีดับเบิลยูอีนที่สร้างขึ้นที่ความถี่ 0.2 kHz ความถี่ 10 kHz	21

สารบัญรูป (ต่อ)

หัวที่	หน้า
3.6 สัญญาณพีดับเบิลยูอิ่นที่สร้างขึ้นที่ค่าตัวไฟเกิด 0.5 ความถี่ 25 kHz	22
3.7 สัญญาณพีดับเบิลยูอิ่นที่สร้างขึ้นที่ค่าตัวไฟเกิด 0.9 ความถี่ 45 kHz	22
3.8 แผนภาพวงจรสร้างไฟเลี้ยง.....	23
3.9 ลักษณะของวงจรสร้างไฟเลี้ยง	24
3.10 การติดตั้งวงจรสร้างไฟเลี้ยง.....	24
3.11 ลักษณะของเครื่องกำนันสัญญาณพีดับเบิลยูอิ่น.....	25
3.12 การติดตั้งวงจรสร้างสัญญาณสามเหลี่ยมและวงจรเปรียบเทียบ	25
3.13 ประกอบอุปกรณ์ลงกล่อง	26
4.1 สัญญาณแรงดันไฟเลี้ยง ± 15 V	27
4.2 สัญญาณพีดับเบิลยูอิ่นที่ค่าคิวต์ไฟเกิด 0	28
4.3 สัญญาณพีดับเบิลยูอิ่นที่ค่าคิวต์ไฟเกิด 0.1 ความถี่ 10 kHz	28
4.4 สัญญาณพีดับเบิลยูอิ่นที่ค่าคิวต์ไฟเกิด 0.2 ความถี่ 20 kHz	29
4.5 สัญญาณพีดับเบิลยูอิ่นที่ค่าคิวต์ไฟเกิด 0.3 ความถี่ 30 kHz	29
4.6 สัญญาณพีดับเบิลยูอิ่นที่ค่าคิวต์ไฟเกิด 0.4 ความถี่ 40 kHz	29
4.7 สัญญาณพีดับเบิลยูอิ่นที่ค่าคิวต์ไฟเกิด 0.5 ความถี่ 50 kHz	30
4.8 สัญญาณพีดับเบิลยูอิ่นที่ค่าคิวต์ไฟเกิด 0.6 ความถี่ 60 kHz	30
4.9 สัญญาณพีดับเบิลยูอิ่นที่ค่าคิวต์ไฟเกิด 0.7 ความถี่ 70 kHz	30
4.10 สัญญาณพีดับเบิลยูอิ่นที่ค่าคิวต์ไฟเกิด 0.8 ความถี่ 80 kHz	31
4.11 สัญญาณพีดับเบิลยูอิ่นที่ค่าคิวต์ไฟเกิด 0.9 ความถี่ 90 kHz	31
4.12 สัญญาณพีดับเบิลยูอิ่นที่ค่าคิวต์ไฟเกิด 1	31
4.13 สัญญาณพีดับเบิลยูอิ่นที่ค่าคิวต์ไฟเกิด 0.3	32
4.14 สัญญาณพีดับเบิลยูอิ่นที่ค่าคิวต์ไฟเกิด 0.6	32
4.15 สัญญาณพีดับเบิลยูอิ่นที่ค่าคิวต์ไฟเกิด 0.9	32
4.16 สัญญาณพีดับเบิลยูอิ่นที่ความถี่ 20 kHz	33
4.17 สัญญาณพีดับเบิลยูอิ่นที่ความถี่ 40 kHz	33
4.18 สัญญาณพีดับเบิลยูอิ่นที่ความถี่ 60 kHz	33
4.19 สัญญาณพีดับเบิลยูอิ่นที่ค่าตัวไฟเกิด 0.1 ความถี่ 75 kHz	34

สารบัญรูป (ต่อ)

รูปที่	หน้า
4.20 สัญญาณพีดับเบิลยูอีนที่คิวต์ไซเคิล 0.1 ความถี่ 100 kHz.....	34
4.21 วงจรทบระดับแรงดัน	35
4.22 กราฟแรงดันด้านด้านออกของวงจรทบระดับแรงดันที่แรงดันด้านเข้า 12 V	36



บทที่ 1

บทนำ

1.1 ที่มาและความสำคัญของโครงงาน

ตัวแปลงผันกำลังกระแสตรง (DC Converter) ถือได้ว่าเป็นอุปกรณ์อิเล็กทรอนิกส์ที่มีความสำคัญของการศึกษาในปัจจุบัน เนื่องจากนิสิตนักศึกษาในสาขาวิชาที่เกี่ยวข้องมีความจำเป็นที่จะต้องใช้ตัวแปลงผันกำลังกระแสตรงในการศึกษาทดลองต่าง ๆ โดยหลักการทำงานของตัวแปลงผันกำลังกระแสตรงมีวงจรสวิตชิ่ง (Switching circuit) ในการจ่ายสัญญาณรูปสี่เหลี่ยม (Square signal) ให้กับวงจร แต่ปัญหาที่พบคือ โดยส่วนใหญ่สัญญาณรูปสี่เหลี่ยมนี้มีปัจจัยให้กับวงจรนั้นสร้างขึ้นจากไอซี NE555 ซึ่งเป็นไอซีสำเร็จรูป ทำให้สัญญาณที่ได้มีความคลาดเคลื่อนสืบเนื่องจากการปรับค่าความถี่สวิตชิ่ง และค่าดิวตี้ไซเคิล (Duty cycle หรือ Duty ratio) ทำได้ยาก ปัญหานี้จึงเป็นเสมือนปัจจัยหนึ่งที่ทำให้การศึกษาทดลองเกิดความคลาดเคลื่อนจากความแม่นยำ

การสร้างสัญญาณจากไมโครคอนโทรลเลอร์ (Microcontroller) ที่สามารถทำได้ เช่น กัน แต่ยังมีข้อเสียคือเราจำเป็นต้องป้อนโปรแกรมให้กับไมโครคอนโทรลเลอร์ทุกครั้งที่ต้องการ สัญญาณที่มีค่าความถี่สวิตชิ่งและค่าดิวตี้ไซเคิลใหม่ ด้วยเหตุผลนี้จึงได้พัฒนาวงจรสร้างสัญญาณรูปพัลส์ที่สามารถปรับค่าความถี่สวิตชิ่งและค่าดิวตี้ไซเคิลได้โดยสะดวก และสัญญาณที่ได้ต้องมีความแม่นยำเหมาะสมที่จะใช้กับวงจรสวิตชิ่งเพื่อใช้ในการศึกษาและทดลองการทำงานของวงจร อิเล็กทรอนิกส์กำลังต่าง ๆ ได้

1.2 วัตถุประสงค์ของโครงงาน

เพื่อสร้างเครื่องกำเนิดสัญญาณพัลส์ควบคุมสัญญาณสวิตช์ด้วยหลักการมอคูละความกว้างพัลส์ หรือพีดับเบิลยูเอ็น โดยสามารถกำหนดความถี่และค่าดิวตี้ไซเคิลที่ต้องการได้

1.3 ขอบเขตของโครงการ

สร้างเครื่องกำเนิดสัญญาณพิเศษเบิลยูเอ็มที่สามารถปรับค่าความถี่ของสัญญาณได้ในช่วง 1.5-100 kHz และปรับดิจิตต์ไซเคิลได้ในช่วง 0.1-0.9

1.4 ขั้นตอนและแผนการดำเนินงาน

1.5 ประโยชน์ที่คาดว่าจะได้รับจากโครงการ

สามารถนำงงานเครื่องกำเนิดสัญญาณพีดับเบิลยูอีมที่สร้างขึ้นไปใช้ชับสวิตซ์ในตัวแปลงผันกำลังชนิดต่าง ๆ โดยสามารถปรับค่าความถี่และค่าดิจิต์ไซเคิลได้ถูกต้องตามความต้องการของผู้ใช้

1.6 งบประมาณ

1) อุปกรณ์สร้างวงจรแหล่งจ่ายไฟกระแสตรง	400 บาท
2) อุปกรณ์สร้างวงรสัญญาณที่ไม่เลือบ	300 บาท
3) อุปกรณ์สร้างวงรสัญญาณควบคุม	200 บาท
4) อุปกรณ์สร้างวงจรเปลี่ยนเทียบ	300 บาท
5) ค่าถ่ายเอกสารและเข้าถ่ายปริญญาบัตร รวมเป็นเงินทั้งสิ้น (สองพันบาทถ้วน)	800 บาท
หมายเหตุ : ถ้าจะคิดเบี้ยทุกรายการ	<u>2,000 บาท</u>

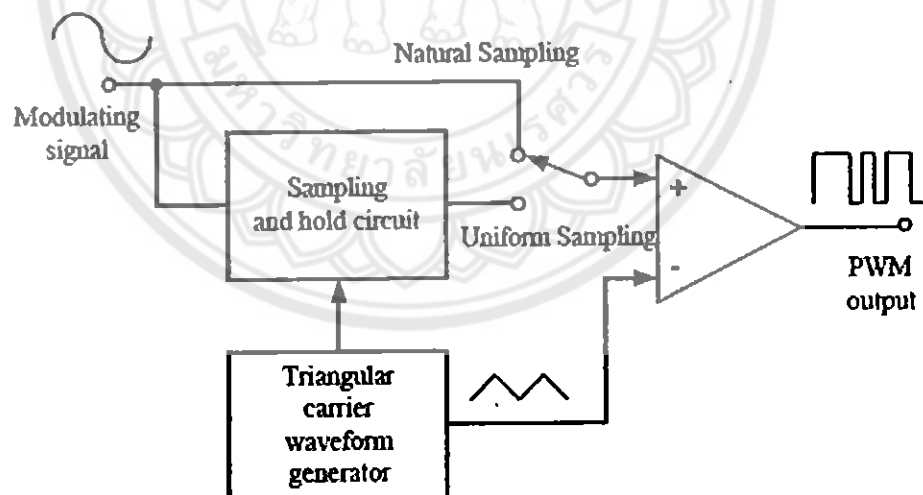


บทที่ 2

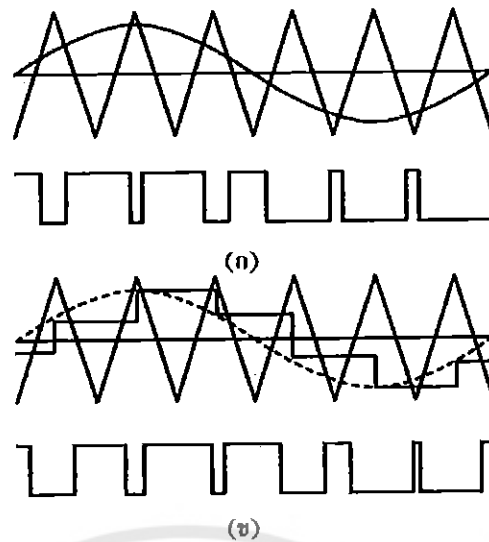
ทฤษฎีและหลักการที่เกี่ยวข้อง

2.1 สัญญาณพีดับเบิลยูเอ็ม

สัญญาณพีดับเบิลยูเอ็ม (PWM หรือ Pulse Width Modulation) คือสัญญาณที่สามารถปรับความกว้างของ脉冲 (Pulse) ซึ่งเรียกว่าค่าดิวตี้ไซเคิลได้ โดยเป็นตัวกำหนดปริมาณของพลังงานไฟฟ้าที่จ่ายให้กับอุปกรณ์ เช่น ปรับความสว่างของหลอดไฟฟ้า ควบคุมความเร็วของมอเตอร์ เป็นต้น สัญญาณพีดับเบิลยูเอ็ม สามารถแบ่งเป็น 2 รูปแบบใหญ่ ๆ แบบแรกคือสัญญาณพีดับเบิลยูเอ็มที่เกิดจากการสุ่มแบบธรรมชาติ (Natural sampling) โดยสัญญาณนี้เรียกว่าสัญญาณพีดับเบิลยูเอ็มที่เกิดจากการสุ่มแบบยูนิฟอร์ม (Uniform sampling) เราจะเรียกสัญญาณนี้ว่าสัญญาณพีดับเบิลยูเอ็มที่เกิด (UPWM) โครงสร้างของการสร้างสัญญาณพีดับเบิลยูเอ็มทั้งสองแบบเป็นดังในรูปที่ 2.1



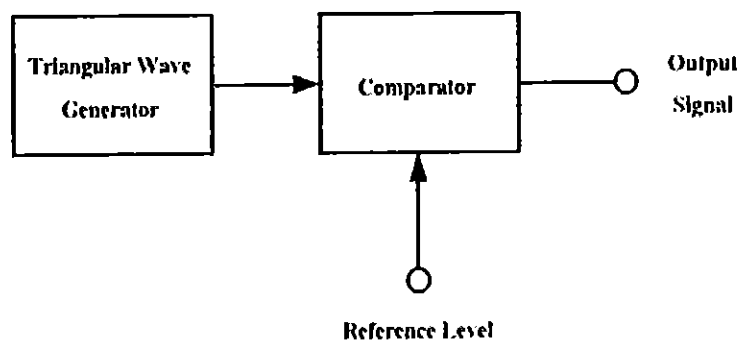
รูปที่ 2.1 โครงสร้างการกำเนิดสัญญาณพีดับเบิลยูเอ็ม



รูปที่ 2.2 สัญญาณพีดับเบิลยูอีนหัวไป (ก) สัญญาณอิเล็กทรอนิกส์พีดับเบิลยูอีน (ข) สัญญาณบูฟพีดับเบิลยูอีน

กรณีเป็นการดำเนินด้วยเวลาอิเล็กทรอนิกส์ ใช้นี้จะถูกปรับเทียบแรงดัน กับสัญญาณสามเหลี่ยม สัญญาณที่ได้จากการปรับเทียบแรงดันก็จะเป็นสัญญาณอิเล็กทรอนิกส์พีดับเบิลยูอีน เช่นกัน ตัวในกรณีของสัญญาณบูฟพีดับเบิลยูอีน สัญญาณใช้นี้จะผ่านวงจรสุ่มและคงค่า สัญญาณ (Sample and hold) ก่อนเข้าปรับเทียบแรงดันกับสัญญาณสามเหลี่ยมจึงได้สัญญาณพีดับเบิลยูอีนหัวสองแบบแสดงในรูปที่ 2.2

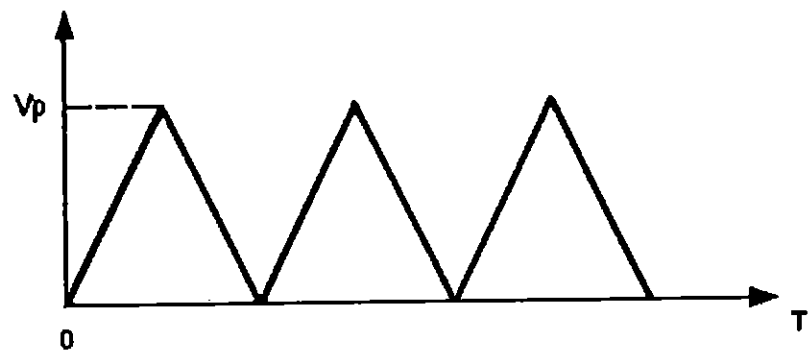
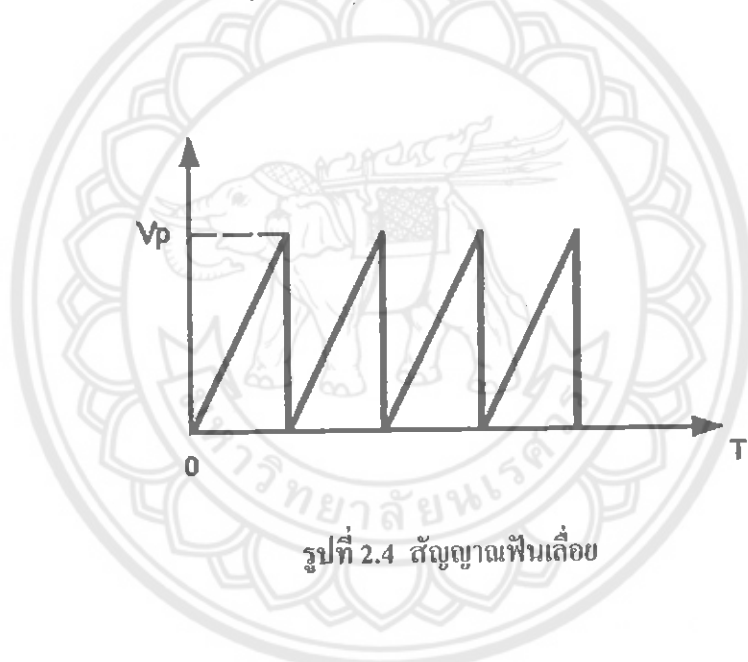
โครงสร้างสัญญาณพีดับเบิลยูอีนอย่างง่ายโดยทั่วไปแสดงดังรูปที่ 2.3 ซึ่งสัญญาณพีดับเบิลยูอีนที่ได้เป็นการปรับเทียบแรงดันระหว่างสัญญาณสามเหลี่ยมกับระดับอ้างอิง (Reference level)



รูปที่ 2.3 โครงสร้างการดำเนินด้วยเวลาอิเล็กทรอนิกส์พีดับเบิลยูอีนอย่างง่าย

2.2 สัญญาณฟันเดือยและสัญญาณสามเหลี่ยม

โดยหลักการแล้วการสร้างสัญญาณพีดับเบิลยูอีมนั้น ใช้การเปรียบเทียบสัญญาณไฟกระแสตรงและสัญญาณฟันเดือย ซึ่งสัญญาณฟันเดือยเป็นสัญญาณที่มีความสัญญาณคงที่โดยมีความชันบวกน้อยและมีความชันทางลงมากเกือบ 90° [3] ดังแสดงในรูปที่ 2.4 แต่ในการสร้างวงจรเครื่องกำเนิดสัญญาณพีดับเบิลยูอีมนั้นสามารถสร้างสัญญาณได้จากการเปรียบเทียบสัญญาณระหว่างสัญญาณไฟกระแสตรงและสัญญาณสามเหลี่ยม ได้เช่นกันซึ่งลักษณะของสัญญาณสามเหลี่ยมคือจะมีลักษณะความชันทางบวกและทางลงเท่ากันและมีความสัญญาณคงที่ดังแสดงในรูปที่ 2.5 ซึ่งโดยหลักการแล้วเมื่อมีการเปรียบเทียบสัญญาณไฟกระแสตรงกับสัญญาณไม่ว่าจะเป็นสัญญาณฟันเดือยหรือสัญญาณสามเหลี่ยม ข้อมูลได้สัญญาณพีดับเบิลยูอีมที่สามารถปรับค่าความต้านทานได้เหมือนกัน เหตุผลเพื่อว่าสัญญาณทั้งสองมีความสัญญาณคงที่นั่นเอง



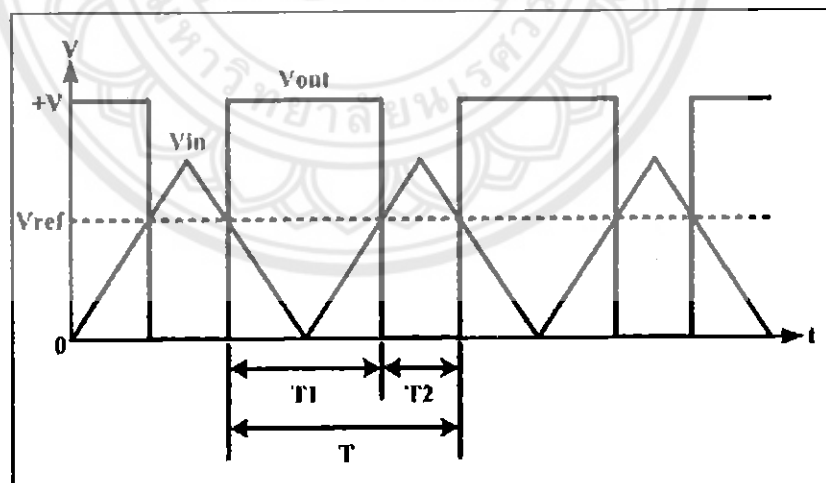
รูปที่ 2.5 สัญญาณสามเหลี่ยม

ในการใช้งานสามารถเลือกใช้สัญญาณทั้งสองทดสอบกันได้ แต่เหตุผลที่เลือกใช้งานสัญญาณสามเหลี่ยมแทนสัญญาณฟันเลื่อยคือ ใน การสร้างสัญญาณฟันเลื่อยให้มีความชันค่าน้อย มีค่าเป็น 90° เป็นสัญญาณฟันเลื่อยโดยสมบูรณ์นั้นทำได้ยาก เพราะเมื่อการสร้างจะจริงแล้ว สัญญาณที่ได้จะมีความคลาดเคลื่อนทำให้ไม่ได้รูปสัญญาณตามต้องการ แต่การสร้างสัญญาณสามเหลี่ยมให้เป็นสัญญาณที่สมบูรณ์ทำได้ง่ายกว่า เพราะฉะนั้นในการสร้างสัญญาณพีดับเบิลยูอิ้มจากการสัญญาณสามเหลี่ยมนั้นจึงเป็นทางเลือกที่ดีกว่า

เมื่อนำสัญญาณสามเหลี่ยมและสัญญาณไฟกระแสตรงมาเปรียบเทียบสัญญาณแล้ว ลักษณะของสัญญาณต่าง ๆ แสดงดังรูปที่ 2.6 พบว่ามีค่าแรงดันอยู่สามค่าด้วยกันซึ่งแรงดันทั้งหมดนี้จะมีความสัมพันธ์กัน นั่นคือ แรงดันสามเหลี่ยม (V_{in}) แรงดันอ้างอิง (V_{ref}) และแรงดันด้านออก (V_{out}) ดังนั้นถ้าทำการพิจารณาดูถึงลักษณะรูปสัญญาณจะพบว่า

ถ้าแรงดัน V_{ref} นั้นมีค่ามากกว่าค่าของแรงดัน V_{in} จะได้ค่าของแรงดันสัญญาณด้านออก (V_{out}) ออกมานี้ค่าเท่ากับ $+V$

ถ้าแรงดัน V_{ref} นั้นมีค่าน้อยกว่าค่าของแรงดัน V_{in} จะได้ค่าของแรงดันสัญญาณด้านออก (V_{out}) ออกมานี้ค่าเท่ากับ $0 V$



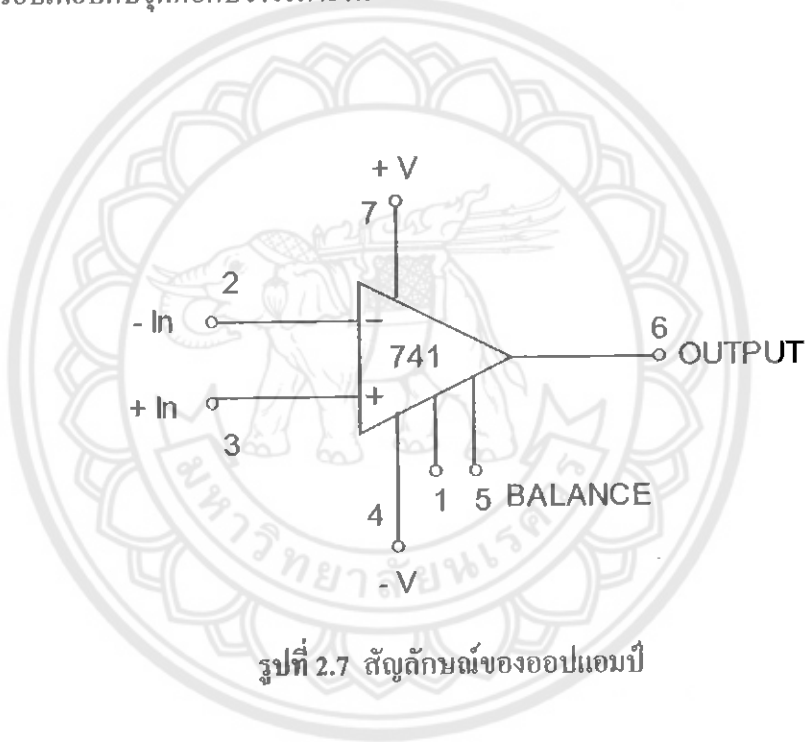
รูปที่ 2.6 ลักษณะของสัญญาณที่ได้จากเครื่องกำเนิดสัญญาณพีดับเบิลยูอิ้ม

2.3 ออปแอนป์

ออปแอนป์ (Operational Amplifier) คืออุปกรณ์ที่มีอินพุตเป็นการขยายผลต่าง (Differential Amplifier) และมีเอาท์พุตเดียว ซึ่งมีอัตราการขยายสูงซึ่งมีการนำไปใช้ในวงจรต่าง ๆ เช่นวงจรขยาย (Amplifier circuit) หรือวงจรออกอสซิลเลเตอร์ (Oscillator circuit) เป็นต้น

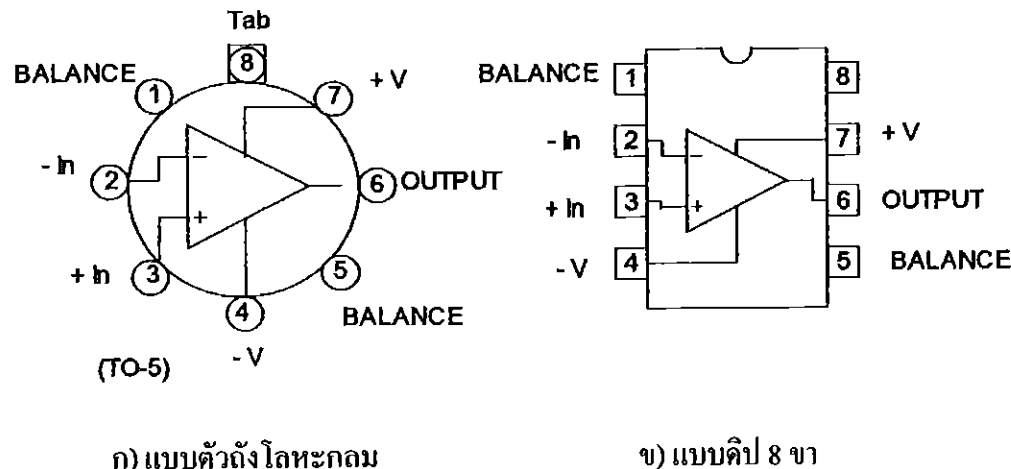
2.3.1 สัญลักษณ์และตัวถัง

สัญลักษณ์ของอปแอนป์จะใช้รูปสามเหลี่ยมนี้ข้าสำหรับต่ออุปกรณ์ภายนอก ดังรูปที่ 2.7 รูปสามเหลี่ยมนี้แสดงถึงการขยายและทิศทางการไหลของสัญญาณ ส่วนชื่อของอปแอนป์ได้แสดงเปรียบเทียบกับจุดต่อ กับวงจรภายใน



รูปที่ 2.7 สัญลักษณ์ของอปแอนป์

เนื่องจากวงจรที่ประกอบขึ้นมาเป็นอปแอนป์สร้างขึ้นบนแผ่นชิป (chip) ที่มีขนาดเล็กมาก ดังนั้นผู้ผลิตจึงต้องทำการบรรจุชิปนี้ลงในตัวถังซึ่งอาจเป็นพลาสติก เซรามิก แก้วหรือโลหะ โดยลักษณะตัวถังที่พบมีอยู่ 2 แบบคือ ตัวถังแบบโลหะกลม (TO-5) และตัวถังแบบดิป (DIP) ดังแสดงในรูปที่ 2.8



รูปที่ 2.8 ตัวถังของอุปกรณ์

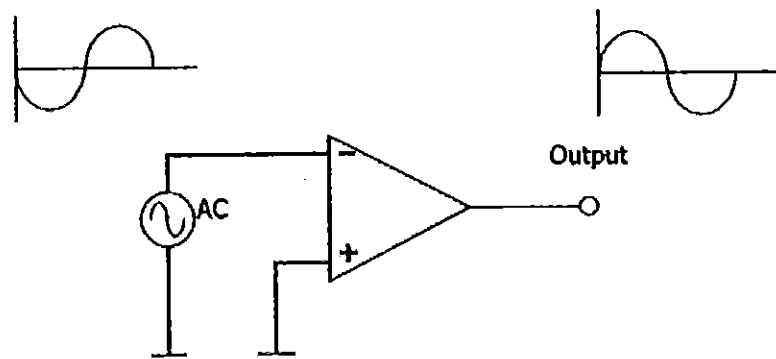
2.3.2 คุณสมบัติของออนปแลนป

ขอปะเอนปมีคุณสมบัติตามอุดมคติ ดังนี้

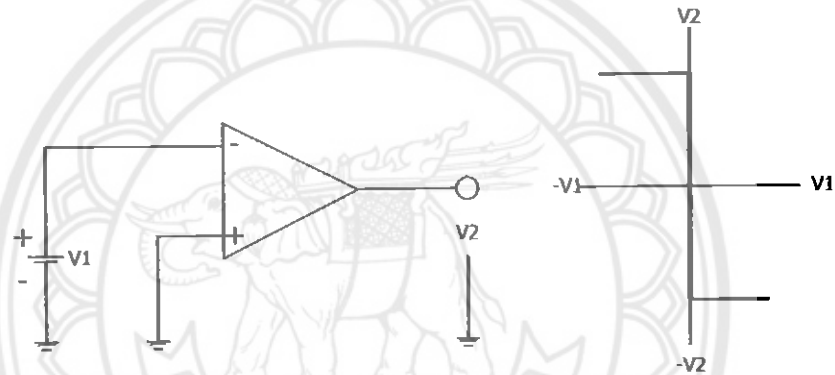
- 1) มีอัตราการขยายแรงดันสูงมาก (Infinite voltage amplification :A)
 - 2) มีค่าอินพุตอิมพีเดนซ์สูงมาก (Infinite input impedance :Zin)
 - 3) มีค่าเอาท์พุตอิมพีเดนซ์ต่ำมาก (Zero output impedance :Zout)
 - 4) มีความกว้างแผลบความถี่ (ต่อการขยาย) (Infinite bandwidth)
 - 5) มีอัตราการขยายแรงดันทางด้านบวกและด้านลบเท่ากัน
 - 6) แรงดันด้านออกเท่ากับศูนย์เมื่อแรงดันด้านเข้าเท่ากับศูนย์
 - 7) ลักษณะของอินพุตมีลักษณะเป็นผลต่าง (Differential)

สัญลักษณ์ของอปเป่นปีแบ่งเป็น 2 ส่วนคืออินพุตและเอาท์พุต นอกจานั้นในรายละเอียดข้างมีอักษรหลายส่วน เช่น ภาคปรับออฟเซต (Offset) ของกระแทกและแรงคันจากสัญญาณของอปเป่นปี โดยขาของอินพุตมีค่าสมบัติดังนี้

- 1) ขาที่มีเครื่องหมายลงกำกับอยู่แบบกลับเฟส (Inverting) มีคุณสมบัติคือถ้าเราป้อนสัญญาณอินพุตเข้ามาหนึ่ง สัญญาณเอาท์พุตจะมีเฟสต่างกับสัญญาณอินพุต 180° (Out off phase 180°) ดังรูปที่ 2.9 และรูปที่ 2.10

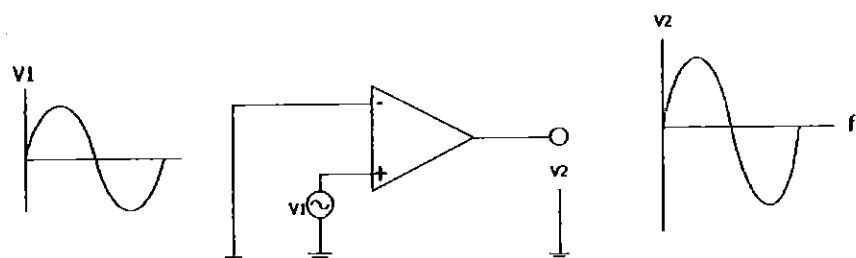


รูปที่ 2.9 การขยายสัญญาณกระแสสลับแบบลูปเปิดโดยใช้วงจรกลับเพส

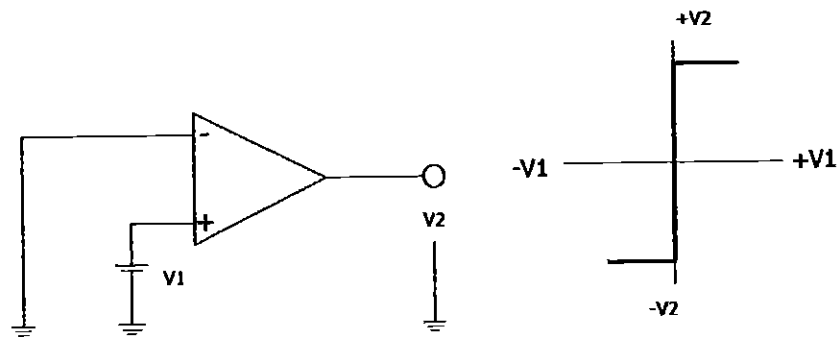


รูปที่ 2.10 การขยายสัญญาณกระแสตรงแบบลูปเปิดโดยใช้วงจรกลับเพส

2) ขาที่มีเครื่องหมายบวกกำกับอั้งแบบไม่กลับเพส (Non-inverting) มีคุณสมบัติคือถ้าป้อนสัญญาณอินพุตเข้าทางขาที่ จะได้สัญญาณเอาท์พุตมีเฟสเดียวกัน (In phase) กับสัญญาณทางอินพุตดังรูปที่ 2.11 และ รูปที่ 2.12



รูปที่ 2.11 การขยายสัญญาณกระแสสลับแบบลูปเปิดโดยใช้วงจรไม่กลับเพส

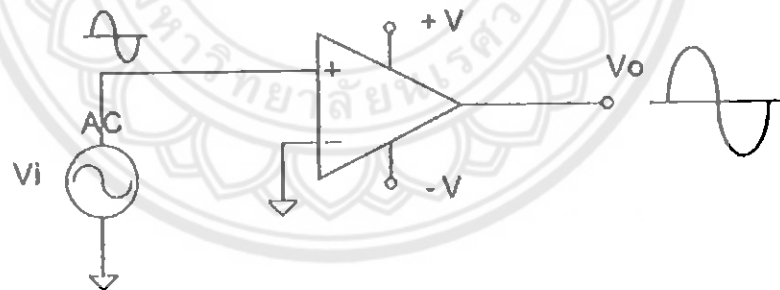


รูปที่ 2.12 การขยายสัญญาณกระแสตรงแบบลุปเปิด โดยใช้วงจรไม่กั้นไฟฟ้า

2.3.3 การทำงานของอปแอนป

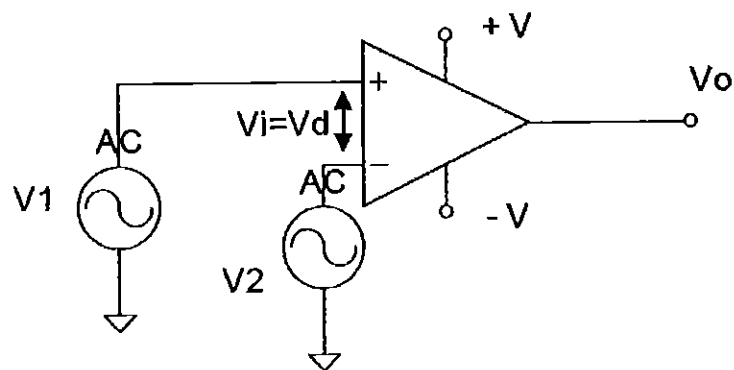
การทำงานของอปแอนปสามารถแบ่งได้ตามลักษณะการทำงาน ได้ 2 ลักษณะคือ ลักษณะการทำงานที่อินพุตเดียวและสองอินพุต

1) การทำงานที่อินพุตเดียว (Single ended input) คือการป้อนสัญญาณอินพุตที่ข้างใดข้างหนึ่ง ส่วนข้างที่เหลือต่อลงกราวด์ดังรูปที่ 2.13

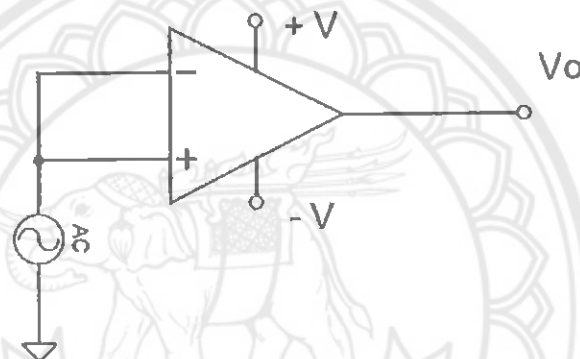


รูปที่ 2.13 การทำงานของอปแอนปที่อินพุตค้านเดียว

2) การทำงานที่อินพุตสองด้าน (Double Ended Input) คือการป้อนสัญญาณอินพุตทั้งสองด้าน ซึ่งแบ่งออกเป็นสองแบบคือ แบบผลต่างที่มีการป้อนสัญญาโนินพุตสองสัญญาณที่เป็นอิสระตอกันให้กับข้ออินพุตทั้งสองดังรูปที่ 2.14 และแบบโหนดหัวไป (Common mode) ที่มีการป้อนสัญญาโนินพุตร่วมให้กับข้ออินพุตทั้งสองของอปแอนปดังรูปที่ 2.15



รูปที่ 2.14 การทำงานของอปเปนปีที่อินพุตสองค้านแบบผลต่าง

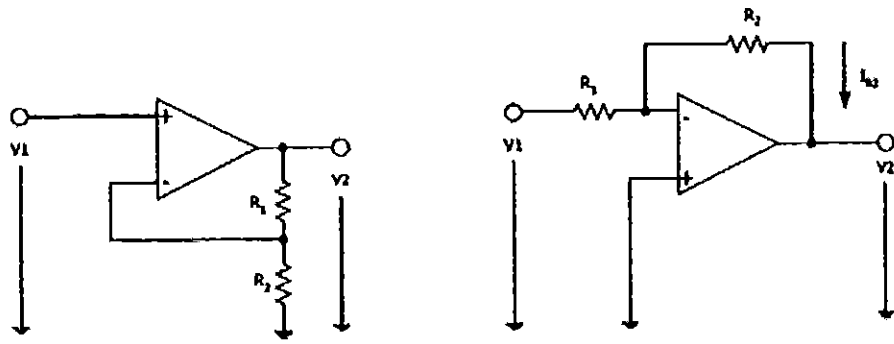


รูปที่ 2.15 การทำงานของอปเปนปีที่สองอินพุตแบบ荷模ทั่วไป

2.3.4 การต่ออปเปนปีใช้งานทางอิเล็กทรอนิกส์

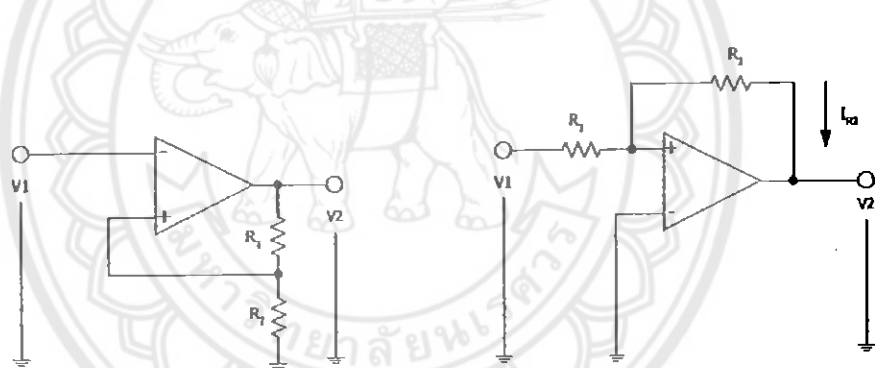
ในปัจจุบันอปเปนปีได้ถูกออกแบบให้งานค้านต่าง ๆ มากมากขึ้นอยู่กับความสามารถในการออกแบบเพื่อตอบสนองต่อการใช้งาน แต่หากเราแบ่งลักษณะการต่อการใช้งานโดยพิจารณาเรื่องการป้อนกลับ (Feedback) มาแบ่งสามารถแบ่งการต่อวงจรใช้งานได้ 2 ลักษณะคือ

- 1) การต่อวงจรใช้งานลักษณะการป้อนกลับแบบ (Negative Feedback) ซึ่งวงจรจำพวกนี้นำไปใช้เป็นวงจรขยายสัญญาณ ลักษณะวงจรดังรูปที่ 2.16



รูปที่ 2.16 ลักษณะวงจรป้อนกลับแบบบวก

2) การต่อวงจรใช้งานลักษณะการป้อนกลับแบบบวก (Positive feedback) วงจรจำพวกนี้ส่วนใหญ่นำไปใช้เป็นวงจรขอสซิลเดเตอร์ และผลิตสัญญาณ ลักษณะวงจรแสดงดังรูปที่ 2.17



รูปที่ 2.17 ลักษณะวงจรป้อนกลับแบบบวก

2.4 ตัวเรียงกระแส

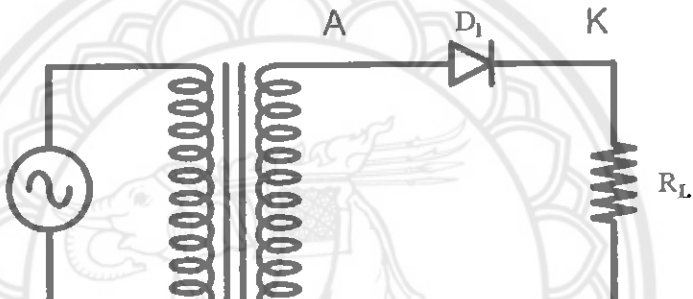
ตัวเรียงกระแส (Rectifier) คือ วงจรที่แปลงผันพลังงานจากแหล่งจ่ายไฟฟ้ากระแสสลับที่มีแรงดันคงที่และความถี่คงที่ให้เป็นผันพลังงานไฟฟ้ากระแสตรงโดยใช้ไดโอดเป็นตัวเรียงกระแส สำหรับตัวเรียงกระแสแบ่งออกเป็น 2 ชนิด คือ ตัวเรียงกระแสครึ่งคลื่นและตัวเรียงกระแสเต็มคลื่น สำหรับตัวเรียงกระแสเต็มคลื่นนั้นสามารถดัดอัตราระดับได้ 2 แบบ คือ ตัวเรียงกระแสเต็มคลื่นที่ใช้หน้อแปลงแทนกลางและตัวเรียงกระแสเต็มคลื่นแบบบริคจ์

2.4.1 ตัวเรียงกระแสแบบครึ่งคลื่น

คัวเรียงกระแสแบบครึ่งคลื่น (Half wave rectifier circuit) จะเป็นวงจรที่ทำหน้าที่ตัดเอา แรงดันไฟฟ้าลับที่ป้อนเข้ามาอาจเป็นครึ่งบวกหรือครึ่งลบแล้วแต่การจัดวงจร โดยโอด แรงดันที่ส่งออกอาจที่พุตจะเป็นช่วง ๆ คือช่วงมีแรงดันและช่วงไม่มีแรงดันสลับกันไป วงจรประกอบด้วย ไดโอดคู่เดียวดังรูปที่ 2.18 การทำงานของวงจรไฟกระแสลับจะนาประกายที่ขาแอโนดโดย ไดโอดจะยอมให้กระแสไหลผ่านได้ทางเดียวคือช่วงที่ไดรับไบอสตรอง ดังนั้นวงจรจะมีกระแส ไหลเพียงช่วงบวกของไฟฟ้าลับเท่านั้น ถ้าช่วงลบจะไม่มีกระแสไหล แรงดันด้านออกที่ไดคือ

$$V_{O(av)} = 0.318 V_m$$

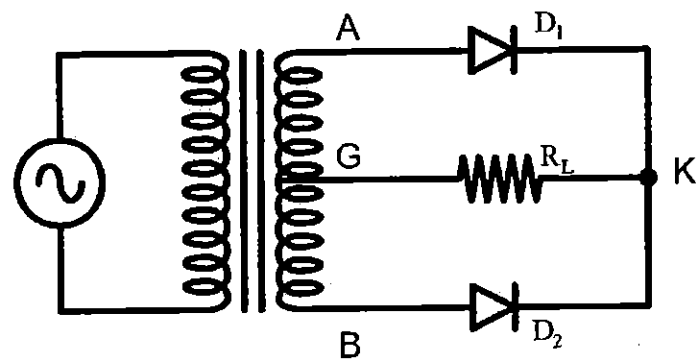
$$V_{O(\text{avg})} = 0.318 V_m$$



รูปที่ 2.18 ตัวเริงกระแสแบบครึ่งคลื่น

2.4.2 ตัวเรียงกระแสเต้มคลื่นแบบที่ใช้นื้อเปล่งแทบปิดจาง

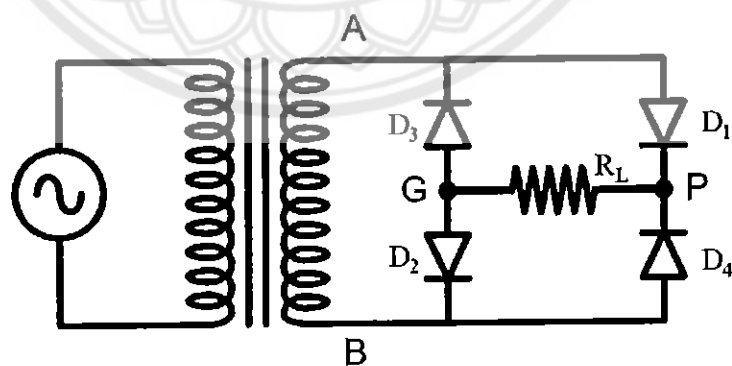
ตัวเรียงกระแสเติมคลื่นแบบที่ใช้มอแปลงแทบกลาง (Center Tap Rectifier Circuit) จะสามารถเรียงแรงดันไฟสลับให้ออกอาจที่พุดได้ทั้งช่วงบวกและช่วงลบของแรงดันไฟสลับที่ป้อนเข้ามาที่อินพุทของวงจรโดยไม่มีส่วนใดของแรงดันไฟสลับถูกตัดทิ้งไป ลักษณะของวงจรจะใช้ไอดี 2 ตัว ทำหน้าที่แปลงสัญญาณไฟสลับเป็นสัญญาณไฟตรง โดยมีมอแปลงไฟฟ้าแบบมีแทบกลาง (Center Tap) ทำหน้าที่แบ่งไฟให้เกิดการต่างไฟกัน 180 องศา ระหว่างสัญญาณที่ออกจากส่วนบนและส่วนล่างของชุดบีบกูนของมอแปลงเพื่อให้ไอดี ไอดีทั้ง 2 ตัวสลับกันทำงานดังรูปที่ 2.19 ดังนั้นวงจรจึงสามารถจ่ายกระแสได้เรียบและสูงกว่าวงจรเรียงกระแสแบบครึ่งคลื่นแรงดันเฉลี่ยที่ได้คือ $V_{O_{ave}} = 0.636V_m$



รูปที่ 2.19 ตัวเรียงกระแสเติมคลื่นแบบมีเทปกลาง

2.4.3 ตัวเรียงกระแสเติมคลื่นแบบบริดจ์

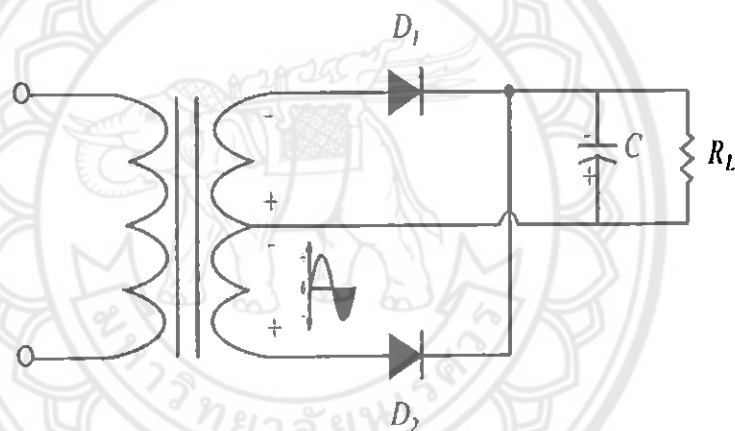
ตัวเรียงกระแสเติมคลื่นแบบบริดจ์ (Full wave bridge rectifier) มีลักษณะเหมือนตัวเรียงกระแสเติมคลื่นแบบที่ใช้หน้อแปลงเทปกลาง เพาะแต่แรงดันเอาท์พุทที่ได้เป็นแบบเติมคลื่น ข้อแตกต่างระหว่างการเรียงกระแสเติมคลื่นแบบบริดจ์และแบบเติมคลื่นธรรมชาต่างกันตรงการต่อวงจร ไดโอด แบบเติมคลื่นจะใช้ไดโอด 2 ตัว แต่แบบบริดจ์จะใช้ไดโอด 4 ตัว และหน้อแปลงไฟฟ้าที่ใช้ก็แตกต่างกัน แบบเติมคลื่นธรรมชาตาใช้หน้อแปลงมีเทปกลาง (Center Tap) มี 3 ขั้ว ส่วนแบบบริดจ์ใช้หน้อแปลง 2 ขั้วหรือ 3 ขั้วที่ได้แสดงดังรูปที่ 2.20



รูปที่ 2.20 ตัวเรียงกระแสเติมคลื่นแบบบริดจ์

2.4.4 วงจรกรองแบบใช้ตัวเก็บประจุ

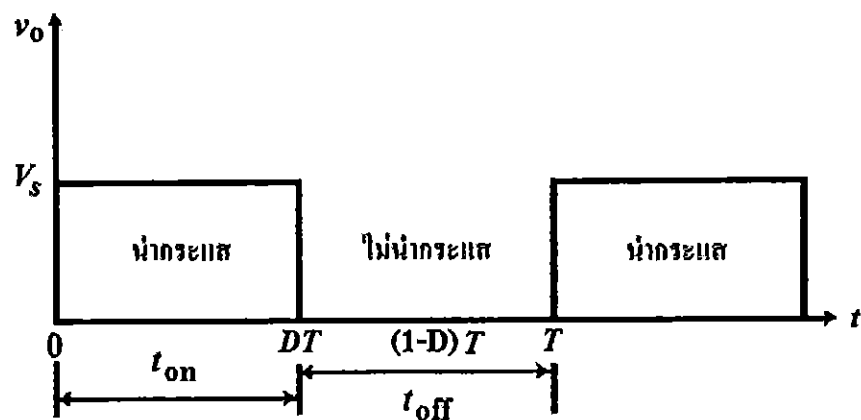
แรงดันไฟฟ้ากระแสเร直流ที่แรงดันต่ำสุดมีระลอกคลื่นปานอยู่ประมาณสูง ไม่เหมาะสมที่จะนำไปใช้งาน จะต้องนำแรงดันนี้ไปผ่านวงจรกรองก่อนที่จะนำไปใช้งาน วงจรกรองแบบที่ง่ายและนิยมที่สุดก็คือ วงจรกรองแบบใช้ตัวเก็บประจุ (Capacitor Filter) โดยใช้ตัวเก็บประจุต่อขนานกับโหลดดังรูปที่ 2.21 ตัวเก็บประจุจะทำหน้าที่เก็บประจุไว้ในช่วงเวลาใดโดยนำกระแสและทำหน้าที่ควบคุมผ่านตัวค้านทานโหลดในช่วงเวลาที่ได้โอดไม่นำกระแส การทำงานของวงจรกรองจะทำการกรองแรงดันไฟตรงที่ซึ่งไม่เรียบให้มีความเรียบขึ้น สามารถนำไปใช้งานกับวงจรทางอิเล็กทรอนิกส์กำลังได้ อีกทั้งแรงดันไฟตรงที่ได้เมื่อผ่านการกรองแรงดันแล้วจะมีค่าเพิ่มขึ้นจากเดิม โดยคำนวณหาได้จากสูตร $V_{DC} = V_P = 1.414 \text{ คูณ } V_{AC}$



รูปที่ 2.21 ตัวเรียงกระแสเติมคลื่นแบบใช้ตัวเก็บประจุกรอง

2.5 ค่าตัวตีไซเคิล

สัญญาณพื้นเบลยูอิ่มที่ได้จากการสวิตชิงจะทำหน้าที่เป็นสวิตช์อิเล็กทรอนิกส์ มีโหมดการทำงานคือ โหมดนำกระแส และโหมดหยุดนำกระแส มีหลักการทำงานดังนี้ คือขณะที่สวิตช์นำกระแสแรงดันด้านออกจะมีค่าเท่ากับแรงดันไฟฟ้าด้านเข้า และขณะที่สวิตช์ไม่นำกระแส แรงดันด้านออกจะมีค่าเท่ากับศูนย์โดยที่ช่วงเวลาในการนำกระแสและหยุดนำกระแสจะได้สัญญาณแรงดันด้านออกเป็นพัลส์ดังรูปที่ 2.22



รูปที่ 2.22 แรงดันด้านออกของวงจรสวิตชิ้งอย่างง่าย

จะพบว่าค่าแรงดันไฟฟ้ากระแสตรงด้านออกจะถูกควบคุมได้จากการปรับค่าดิจิต์ไซเคิล ซึ่ง D หมายถึง อัตราส่วนของช่วงเวลาที่สวิตช์นำกระแสแต่ต่อช่วงเวลาหนึ่งของการสวิตชิ้งมีความสัมพันธ์ดังนี้ คือ

$$D = \frac{t_{on}}{t_{on} + t_{off}} = \frac{t_{on}}{T} \quad (2.30)$$

ดังนี้จะได้ว่า

$$t_{on} = DT \text{ และ } t_{off} = (1 - D)T$$

โดยที่ t_{on} คือ ช่วงเวลาที่นำกระแส

t_{off} คือ ช่วงเวลาที่ไม่นำกระแส

T คือ เวลาหนึ่งคาน

การกำหนดค่า D นิยมนอกเป็นสองลักษณะ คือเป็นเลขเต็มหนึ่งและบอกเป็นเปอร์เซ็นต์ ขณะที่บอกเป็นเลขเต็มหนึ่งค่าต่ำสุดของ D คือ 0 และค่าสูงสุดคือ 1 ขณะที่บอกเป็นเปอร์เซ็นต์ ค่าต่ำสุดคือ 0% และค่าสูงสุดคือ 100% [3]

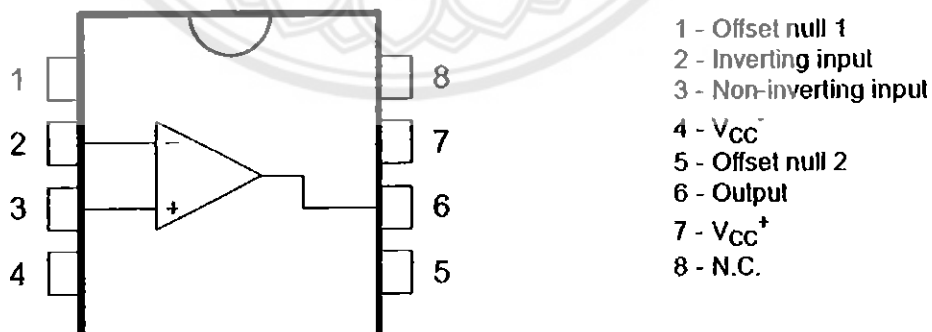
บทที่ 3

การสร้างสัญญาณพีดับบลูเอ็ม

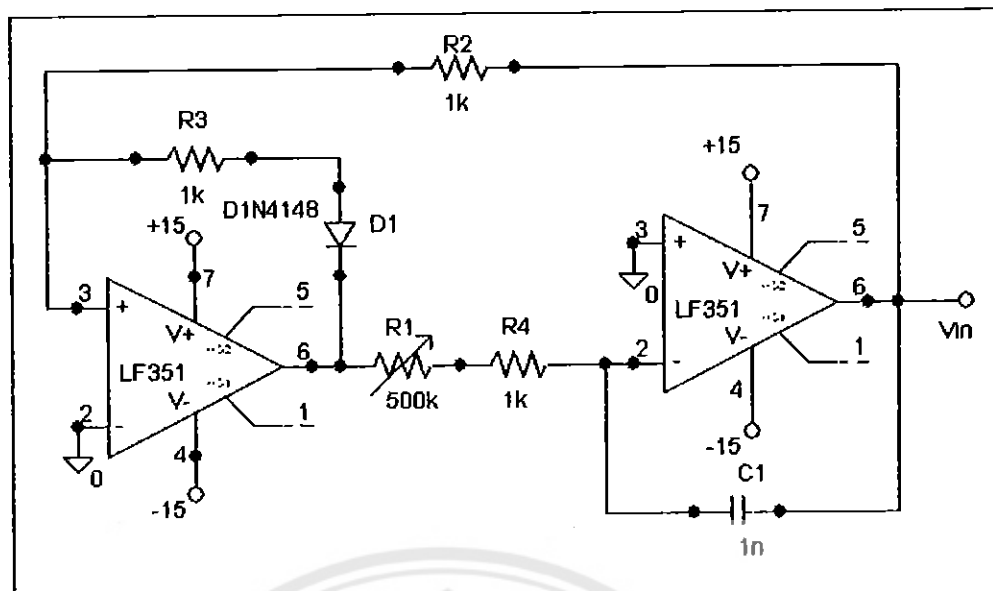
การสร้างสัญญาณพีดับบลูเอ็มในโครงการนี้ใช้วงจรหลัก 3 วงจร คือ วงจรสร้างสัญญาณสามเหลี่ยม วงจรเปรียบเทียบ และวงจรสร้างไฟเลี้ยงซึ่งจำเป็นต่อวงจรแสตมป์ค่าบวกและค่าลบให้กับวงจรสร้างสัญญาณสามเหลี่ยมและวงจรเปรียบเทียบ โดยจะได้อธิบายดังต่อไปนี้

3.1 วงจรสร้างสัญญาณสามเหลี่ยม

วงจรสร้างสัญญาณสามเหลี่ยม หรือสัญญาณค้านเข้า (V_{in}) เป็นสัญญาณที่กำหนดความถี่ของสัญญาณพีดับบลูเอ็มให้ได้ตามต้องการ อุปกรณ์หลักในการสร้างวงจรคือ LF351 ลักษณะการใช้งานดังรูปที่ 3.1 ซึ่ง LF351 สร้างสัญญาณสี่เหลี่ยมขึ้นจากหลักการป้อนกลับแรงดันและสามารถวิเคราะห์การเกิดสัญญาณสามเหลี่ยมได้คือ ช่วงแรกที่สัญญาณสี่เหลี่ยมนี้ค่าเป็นบวกแรงดันค้านออกของสัญญาโนินทิเกรเตอร์จะลดลงอย่างคงที่ แต่เมื่อสัญญาณสี่เหลี่ยมเปลี่ยนสถานะลดลงเป็นศูนย์ แรงดันค้านออกของสัญญาโนินทิเกรเตอร์จะเพิ่มขึ้นด้วยความชันขนาดเท่ากับที่ลดลง วงจรการทำงานที่ออกแบบแสดงดังรูปที่ 3.2.

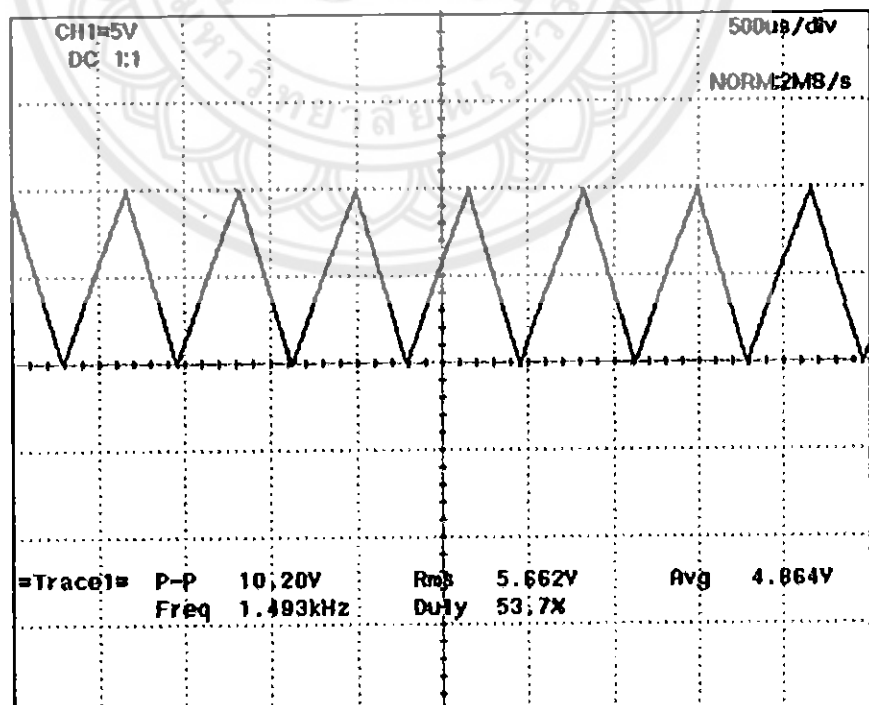


รูปที่ 3.1 รูปและขาต่างๆของ LF351



รูปที่ 3.2 วงจรสร้างสัญญาณสามเหลี่ยมจาก LF351

รูปสัญญาณสามเหลี่ยมที่ได้จากการสร้างวงจรที่ความถี่ 1.5 kHz และมีค่าขอด 10.2 V
แสดงค้างรูปที่ 3.3



รูปที่ 3.3 สัญญาณสามเหลี่ยมที่ได้สร้างขึ้นที่ความถี่ 1.5 kHz

3.1.1 การคำนวณหาความถี่

$$f = \frac{1}{2R_1C_1} \quad (3.1)$$

เมื่อกำหนดให้ $f = 1 \text{ kHz}$ มีท่า $C_1 = 1 \text{ nF}$

ดังนั้น

$$R_1 = \frac{1}{2fC_1} \quad (3.2)$$

ดังนี้จากสมการที่ (3.2)

$$R_1 = \frac{1}{2(1 \text{ kHz})(1 \text{ nF})} = 500 \text{ k}\Omega$$

และที่ $f = 100 \text{ kHz}$ และ $C_1 = 1 \text{ nF}$

จากสมการที่ (3.2) จะได้ว่า

$$R_1 = \frac{1}{2(100 \text{ kHz})(1 \text{ nF})} = 5 \text{ k}\Omega$$

ดังนั้นจึงได้พิสูจน์ความต้านทานที่ทำให้ได้ความถี่ที่บาน 1-100 kHz คือ 5-500 kΩ -

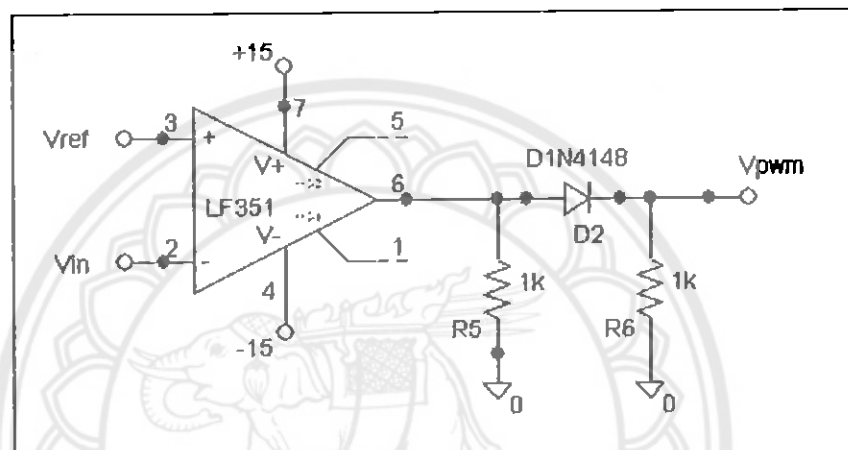
3.2 วงจรเปรียบเทียบ

ในการสร้างวงจรกำเนิดสัญญาณพื้นบันเบิดย้อมที่สมบูรณ์ได้นั้น นอกจากจะประกอบด้วยสัญญาณสามเหลี่ยม (V_{in}) และสัญญาณไฟกระแสตรง (V_{ref}) วงจรสำคัญที่ขาดไม่ได้ก็คือ วงจรเปรียบเทียบ ซึ่งจะทำหน้าที่เปรียบเทียบสัญญาณระหว่างสัญญาณสามเหลี่ยมและสัญญาณไฟกระแสตรงเพื่อให้ได้เป็นสัญญาณสวิตชิงนั่นเอง

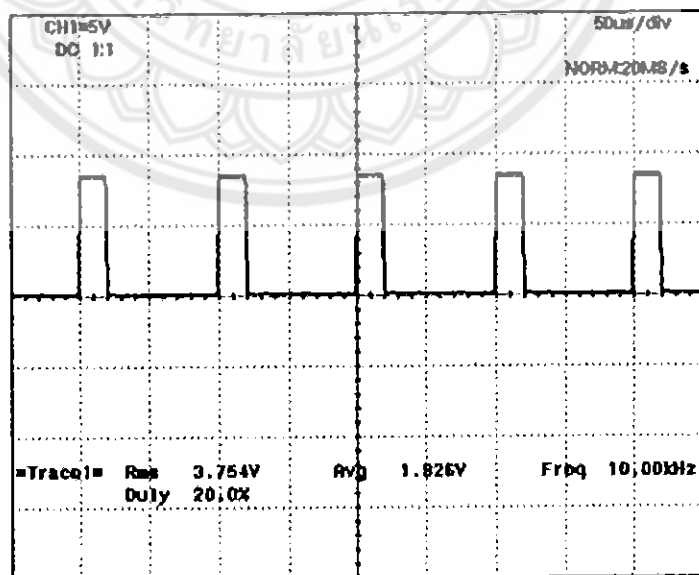
ในส่วนของวงจรเปรียบเทียบนี้ เราจะเลือกใช้งานออนปี LF351 ในการสร้างวงจรการทำงานด้วยเซนเซอร์ เนื่องจากต้องการให้การทำงานของวงจรเปรียบเทียบสอดคล้องกับค่าแรงดันและความถี่ของสัญญาณสามเหลี่ยม

3.2.1 ขั้นตอนการสร้างวงจร

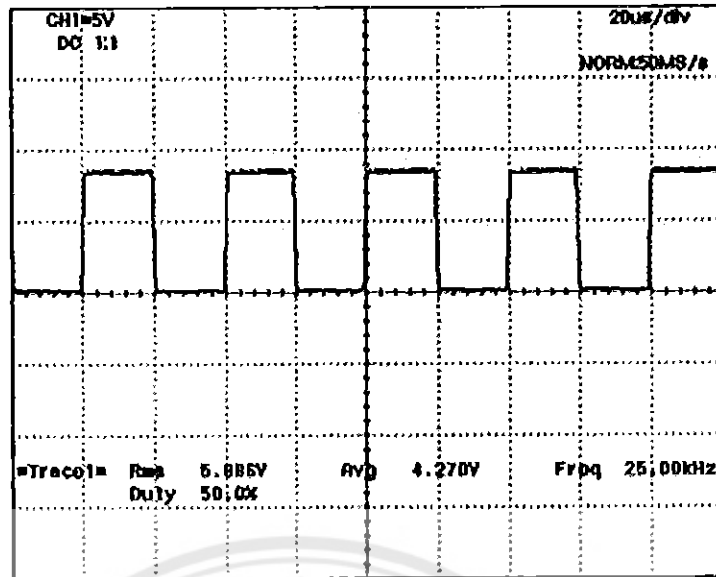
- 1) ออกรูปแบบของเรื่องราวที่เขียน
 - 2) ต่อว่าจะสร้างสัญญาณสามเหลี่ยมและวงจรสัญญาณไฟกระแทกตรงเข้ากับวงจร
เปรียบเทียบตามอุปกรณ์ที่ 3.4 โดยต่อ กับแผ่นโปรดิวซ์
เปรียบเทียบความอุปกรณ์ที่ 3.4 โดยต่อ กับแผ่นโปรดิวซ์
 - 3) วัดค่าแรงดันและสังเกตรูปสัญญาณแรงดันที่ได้จากอสเซิลโลสโคปจากรูปที่ 3.5 ถึง
รูปที่ 3.7



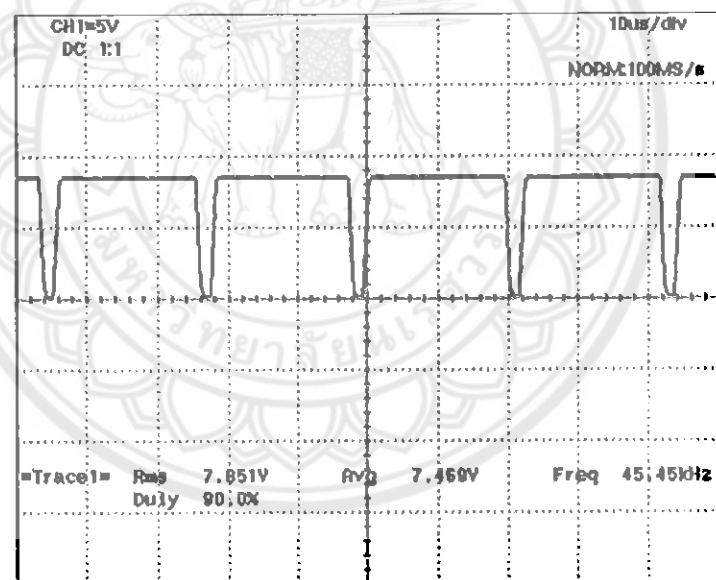
รูปที่ 3.4 วงศ์เปริใบเทียนสัลวะ



รูปที่ 3.5 สัญญาณพิคบ์เบิลยูอีนที่สร้างขึ้นที่ความถี่ 0.2 kHz



รูปที่ 3.6 ตัวอย่างสัญญาณพีคับเบิลบูจเมมที่สร้างขึ้นที่คิวต์ไฟเกิด 0.5 ความถี่ 25 kHz



รูปที่ 3.7 ตัวอย่างสัญญาณพีคับเบิลบูจเมมที่สร้างขึ้นที่คิวต์ไฟเกิด 0.9 ความถี่ 45 kHz

3.3 วงศ์สร้างไฟเลี้ยง

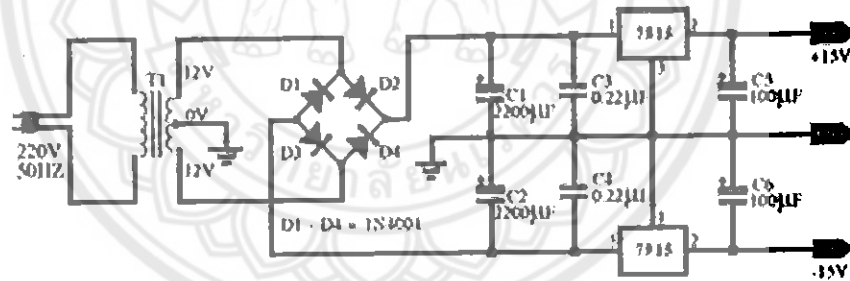
วงจรสร้างไฟเลี้ยงมีหน้าที่จ่ายไฟให้กับวงจร โดยมีการควบคุมระดับแรงดันด้านออกให้มีค่าคงที่ไว้ที่ ± 15 V เพื่อจ่ายไฟให้กับอปเปนปีและวงจรเรซิบชนเทียบแรงดันต่อไป

3.3.1 การเลือกใช้งานอุปกรณ์

วงจรสร้างไฟเลี้ยงนี้จะใช้มอแปลงที่มีเทปกลางแปลงแรงดันกระแสสลับจาก 220 V เป็น 12 V และทำการเรียงกระแสโดยวงจรกรองแบบใช้ตัวเก็บประจุ แล้วทำการควบคุมระดับแรงดันโดยใช้ไอซี LM7815 ควบคุมแรงดันค้านบวกและไอซี LM7915 ควบคุมแรงดันค้านลบเพื่อให้ได้แรงดันไฟเลี้ยง ± 15 V

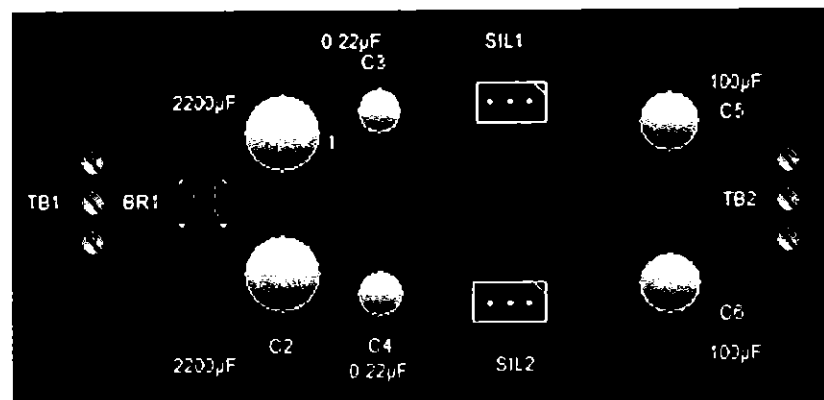
3.3.2 ขั้นตอนการสร้างวงจร

- 1) ออกแบบโครงสร้างไฟเลี้ยง
 - 2) ต่อวงจรสร้างไฟเลี้ยงตามที่ออกแบบไว้ดังรูปที่ 3.8 โดยต่อ กับแผ่นโปรดักซ์
 - 3) วัดค่าแรงคันด้านและสังเกตว่า สัญญาณที่ได้โดยใช้ออสซิลโลสโคป



รูปที่ 3.8 แผนภาพวงจรสร้างไฟเลี้ยง

- 4) ทำการออกแบบลากวงจรด้วยโปรแกรม PCB Wizard สำหรับติดตั้งวงจรลงบนแผง PCB ได้คังรูปที่ 3.9 และติดตั้งอุปกรณ์ตามลากวงจรที่ได้ออกแบบไว้คังรูปที่ 3.10



รูปที่ 3.9 ลายวงจรสร้างไฟเลี้ยง

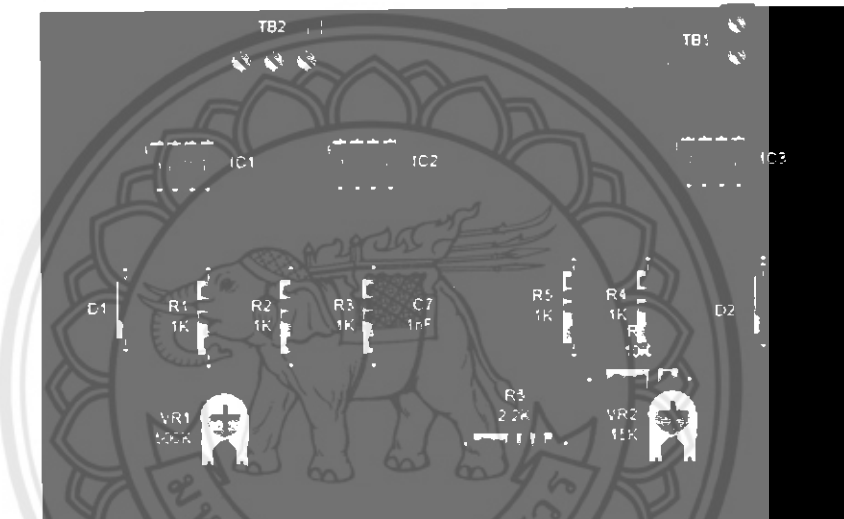


รูปที่ 3.10 การติดตั้งวงจรสร้างไฟเลี้ยง

วงจรสร้างไฟเลี้ยงในที่นี้เลือกใช้ไอซี LM7815 และ LM7915 เนื่องจากต้องการให้ได้แรงดันไฟฟ้า 15 V และ -15 V เพื่อเป็นไฟเลี้ยงให้กับบอร์ดแม่เป็นสัญญาณไฟกระແສตรองที่ใช้ในการเปรีบินเทียบกับสัญญาณสามเหลี่ยม ซึ่งผลที่ได้จากการใช้แรงดันไฟฟ้า 15 V และ -15 V นี้ทำให้ได้ค่ายอดของสัญญาณพีดับเบิลยูอีมเป็น 8.4 V ซึ่งต่างจากการใช้ไอซี LM7812 และ LM7912 ที่ได้แรงดันไฟฟ้า 12 V และ -12 V เป็นไฟเลี้ยงให้กับบอร์ดแม่ ทำให้ได้ค่ายอดของสัญญาณพีดับเบิลยูอีมเพียง 6.64 V ซึ่งจะลดขอบเขตในการใช้งานให้น้อยลงด้วย

3.4 การประกอบวงจรสร้างสัญญาณพื้นดินเบลยูอีม

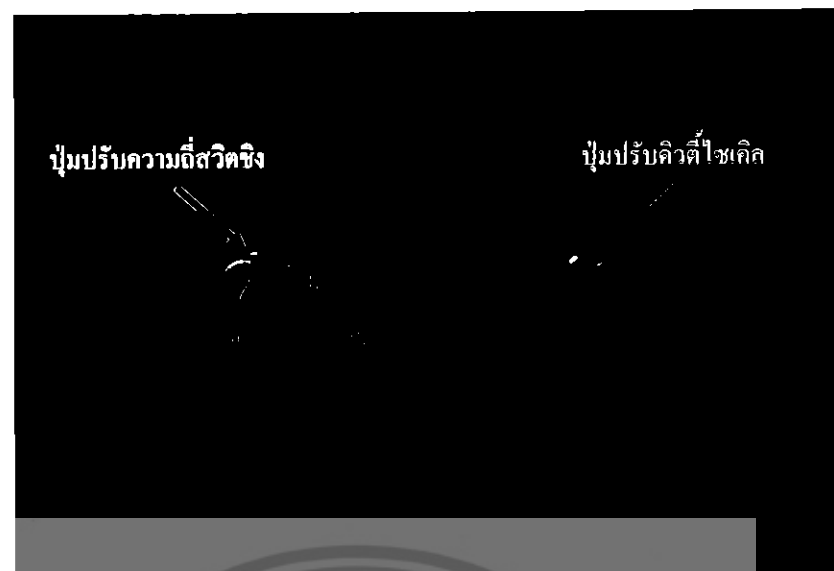
หลังจากต่ออุปกรณ์ต่าง ๆ เพื่อทดสอบการทำงานของวงจรต่าง ๆ บน Protoboard (Protoboard) แล้วจึงทำการออกแบบลายวงจรด้วยโปรแกรม PCB Wizard สำหรับคิดตั้งวงจรที่หนึ่งของวงจรสร้างสัญญาณพื้นดินเบลยูอีมลงบนแผง PCB ได้ดังรูปที่ 3.11 ติดตั้งอุปกรณ์ตามลายวงจรที่ได้ออกแบบไว้ได้ดังรูปที่ 3.12 โดยประกอบอุปกรณ์ลงในกล่องเพื่อความเรียบร้อยและความสะดวกต่อการใช้งานดังรูปที่ 3.13



รูปที่ 3.11 ลายวงจรของเครื่องกำเนิดสัญญาณพื้นดินเบลยูอีม



รูปที่ 3.12 การติดตั้งวงจรสร้างสัญญาณสามเหลี่ยมและวงจรเปรียบเทียบ



รูปที่ 3.13 ประกอบอุปกรณ์ลงกล่อง



บทที่ 4

ผลการทดสอบ

หลังจากการศึกษาการทำงานของวงจรกำเนิดสัญญาณพีคัมบ์ยูเอ็มและวงจรผิดพลาดในบทที่ 2 และการออกแบบวงจรสร้างไฟเลี้ยง การออกแบบวงจรสร้างสัญญาณสามเหลี่ยมและวงจรเบรี่ยนเทียบในบทที่ 3 ผู้ดำเนินโครงการได้ทำการทดสอบการทำงานของวงจรดังกล่าวที่สร้างขึ้น โดยแบ่งการทดลองออกเป็น 4 ส่วนดังนี้

ส่วนที่ 1 การทดสอบวงจรสร้างไฟเลี้ยง

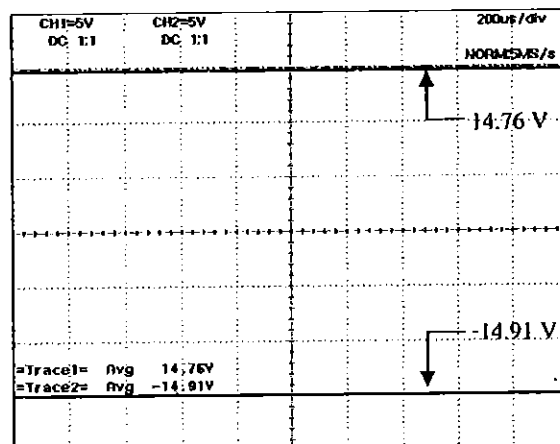
ส่วนที่ 2 การทดสอบปรับค่าความถี่และคิวต์ไซเคิล

ส่วนที่ 3 การทดสอบเพื่อหาข้อบกพร่องการทำงาน

ส่วนที่ 4 การทดสอบการขับนมอสเฟตของวงจรทบทะนับแรงดัน

4.1 การทดสอบวงจรสร้างไฟเลี้ยง

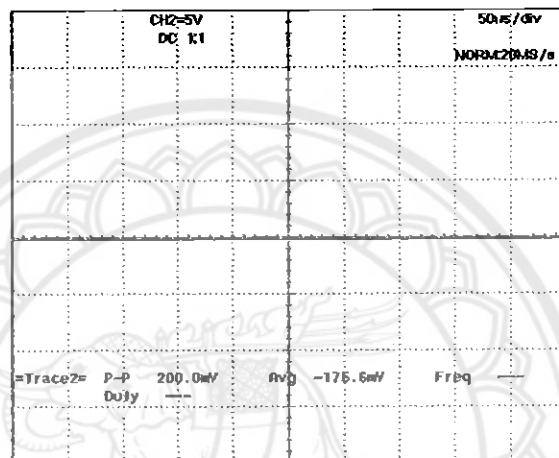
เครื่องกำเนิดสัญญาณพีคัมบ์เบลยูเอ็มที่สร้างขึ้นจำเป็นต้องใช้ไฟเลี้ยง 15 V และ -15 V แต่เมื่อจะนำไปสามารถหาไฟเลี้ยงคงคล่องตัวได้ยังนักจึงต้องมีการสร้างวงจรไฟเลี้ยงขึ้นเพื่อความสะดวกในการใช้งาน ซึ่งในการสร้างวงจรจะมีการสูญเสียภายในเกิดขึ้น ส่งผลให้ระดับแรงดันลดลง ซึ่งได้แรงดันเท่ากับ 14.76 V และ -14.91 V โดยผลการทดสอบจะได้สัญญาณแรงดันดังรูปที่ 4.1



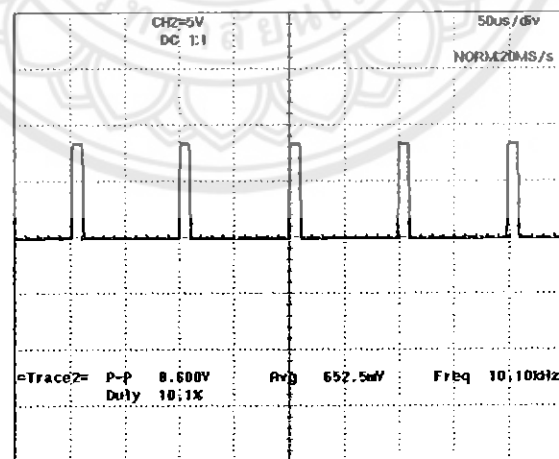
รูปที่ 4.1 สัญญาณแรงดันไฟเลี้ยง ± 15 V

4.2 การทดสอบปรับค่าความถี่และดิวตี้ไซเกล

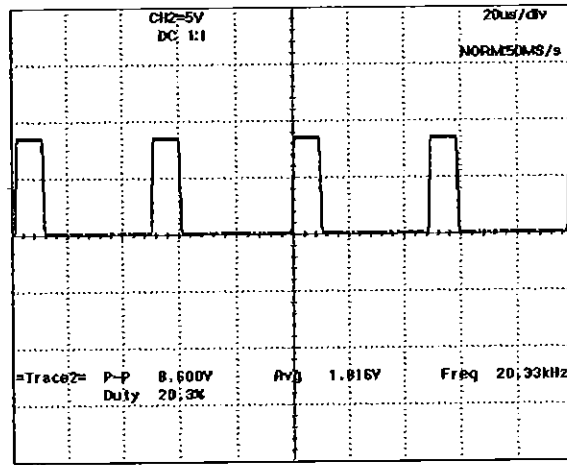
การทดสอบนี้จะใช้เลี้ยงจ่ายไฟ ± 15 V ให้กับเครื่องกำเนิดสัญญาณพีดับเบิลยูเอ็ม แล้วทำการปรับค่าดิวตี้ไซเกลที่ตัวด้านหน้าปรับค่าได้ $10 \text{ k}\Omega$ และปรับค่าความถี่ที่ตัวด้านหน้าปรับค่าได้ $500 \text{ k}\Omega$ ซึ่งการทดสอบมีการปรับค่าดิวตี้ไซเกล 0 – 1 ควบคู่กับการปรับค่าความถี่ตั้งแต่ $10 - 100 \text{ kHz}$ โดยผลการทดลองแสดงดังรูปที่ 4.2 - รูปที่ 4.12



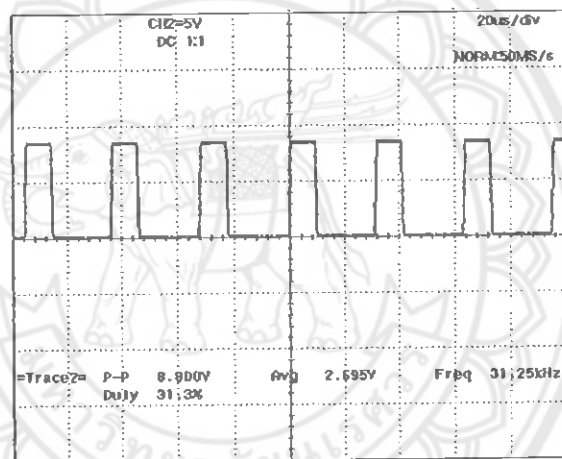
รูปที่ 4.2 สัญญาณพีดับเบิลยูเอ็มที่ค่าดิวตี้ไซเกล 0



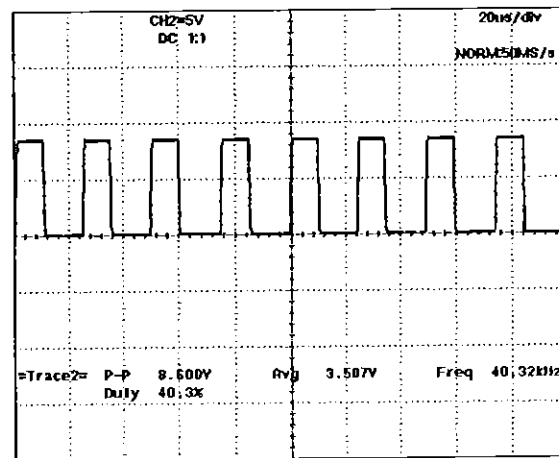
รูปที่ 4.3 สัญญาณพีดับเบิลยูเอ็มที่ค่าดิวตี้ไซเกล 0.1 ความถี่ 10 kHz



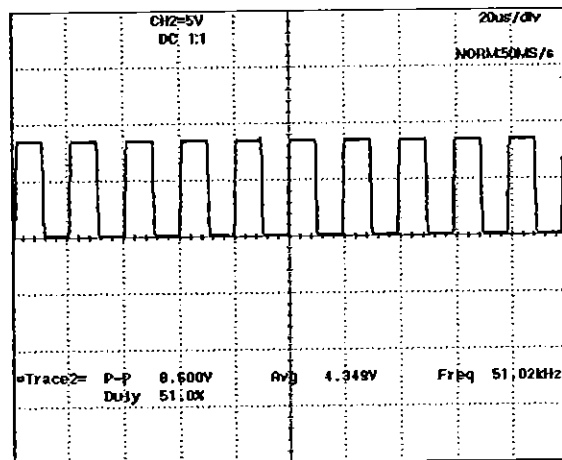
รูปที่ 4.4 สัญญาณพีดับเบิลยูเอ็นที่ค่าความต้านทานเกิด 0.2 ความถี่ 20 kHz



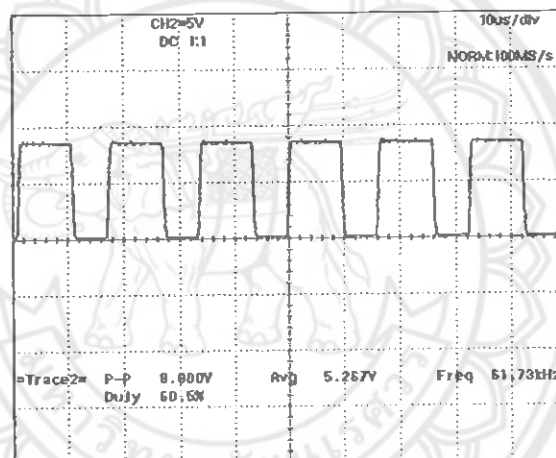
รูปที่ 4.5 สัญญาณพีดับเบิลยูเอ็นที่ค่าความต้านทานเกิด 0.3 ความถี่ 30 kHz



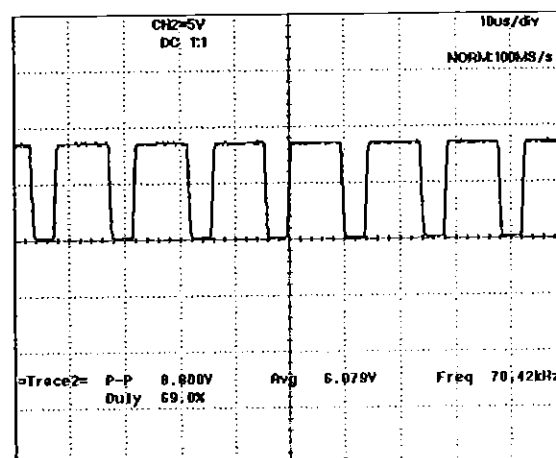
รูปที่ 4.6 สัญญาณพีดับเบิลยูเอ็นที่ค่าความต้านทานเกิด 0.4 ความถี่ 40 kHz



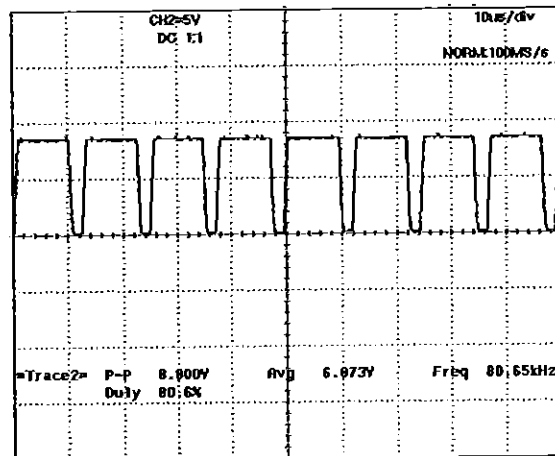
รูปที่ 4.7 สัญญาณพีดับเบิลยูเอ็มที่ค่าความถี่ใช้เกล 0.5 ความถี่ 50 kHz



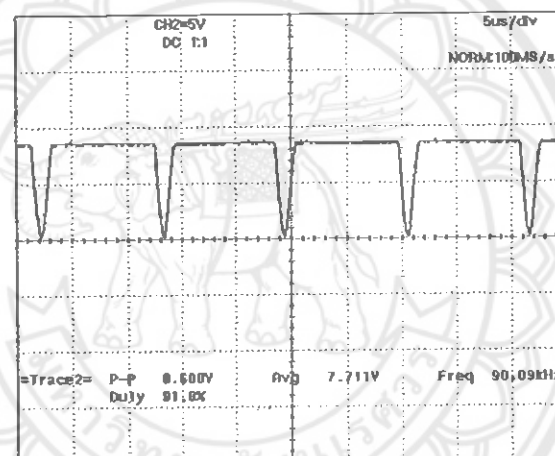
รูปที่ 4.8 สัญญาณพีดับเบิลยูเอ็มที่ค่าความถี่ใช้เกล 0.6 ความถี่ 60 kHz



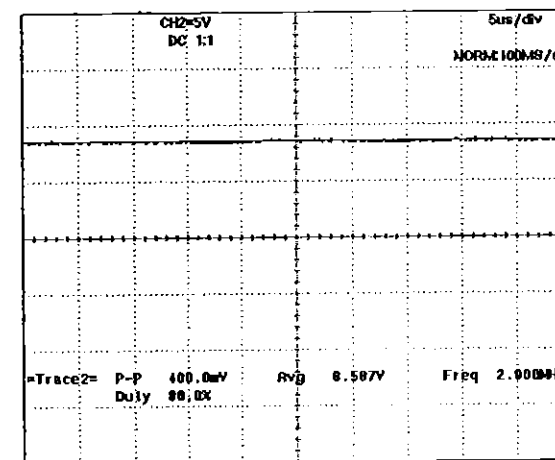
รูปที่ 4.9 สัญญาณพีดับเบิลยูเอ็มที่ค่าความถี่ใช้เกล 0.7 ความถี่ 70 kHz



รูปที่ 4.10 สัญญาณพีดับเบิลยูอีมที่ค่าความถี่ใช้เกิด 0.8 ความถี่ 80 kHz

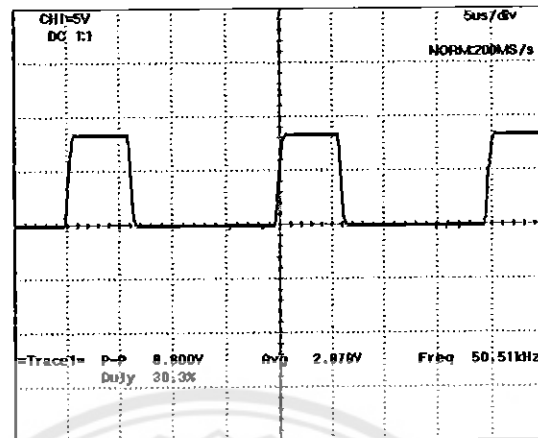


รูปที่ 4.11 สัญญาณพีดับเบิลยูอีมที่ค่าความถี่ใช้เกิด 0.9 ความถี่ 90 kHz

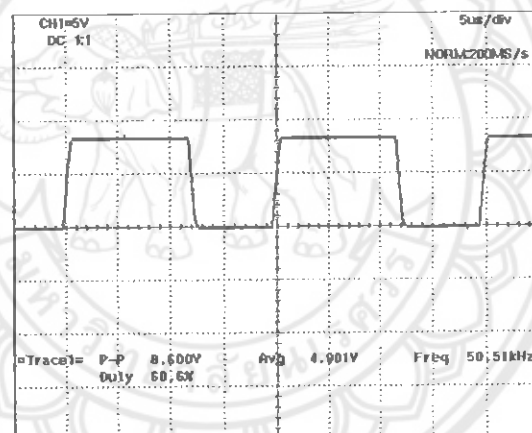


รูปที่ 4.12 สัญญาณพีดับเบิลยูอีมที่ค่าความถี่ใช้เกิด 1

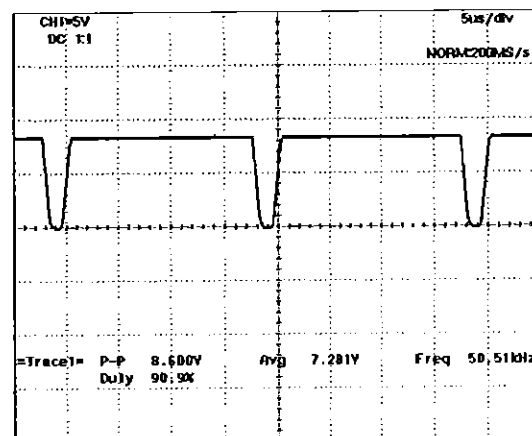
การทดสอบปรับค่าตัวใช้เกล็อกที่ความถี่คงที่ 50 kHz และคงดังรูปที่ 4.13-รูปที่ 4.15



รูปที่ 4.13 สัญญาณพีคัมเบิลขูญึ่นที่ค่าค่าตัวใช้เกล็อก 0.3

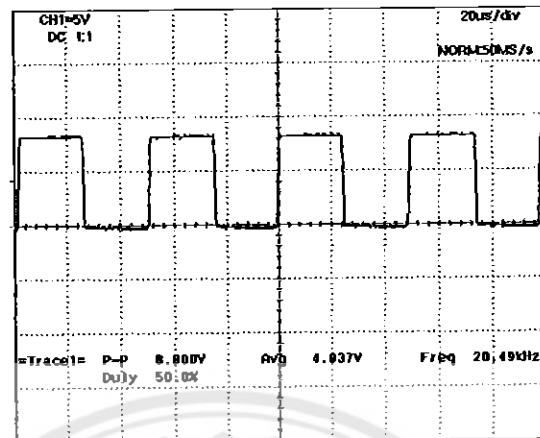


รูปที่ 4.14 สัญญาณพีคัมเบิลขูญึ่นที่ค่าค่าตัวใช้เกล็อก 0.6

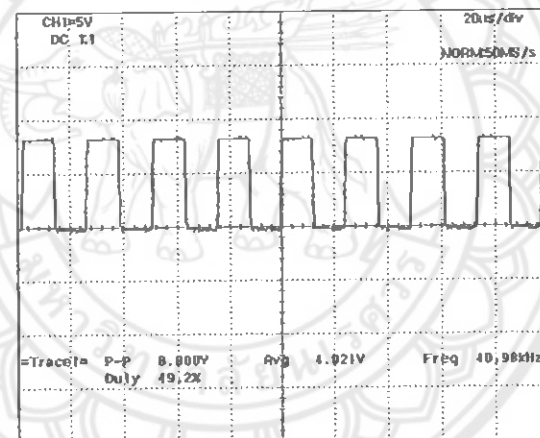


รูปที่ 4.15 สัญญาณพีคัมเบิลขูญึ่นที่ค่าค่าตัวใช้เกล็อก 0.9

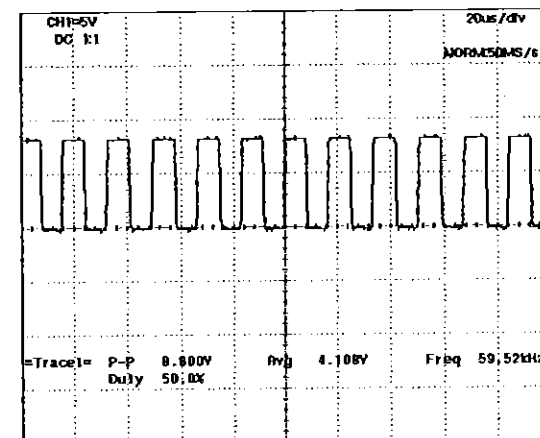
การทดสอบปรับความถี่ที่ดิจิต์ไซเคิลคงที่ 0.5 แสดงดังรูปที่ 4.16-รูปที่ 4.18



รูปที่ 4.16 สัญญาณพีคันเบิลยูเอ็มที่ความถี่ 20 kHz



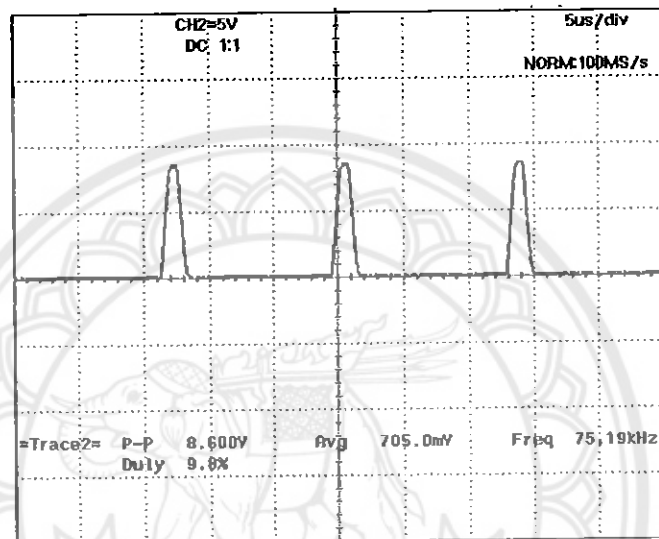
รูปที่ 4.17 สัญญาณพีคันเบิลยูเอ็มที่ความถี่ 40 kHz



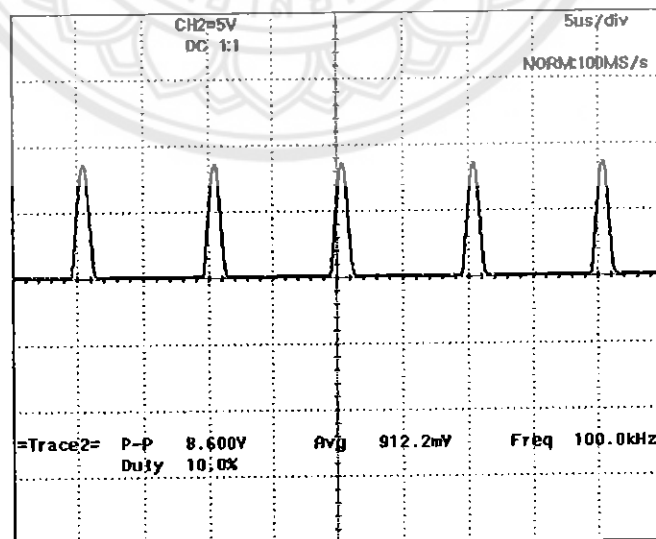
รูปที่ 4.18 สัญญาณพีคันเบิลยูเอ็มที่ความถี่ 60 kHz

4.3 การทดสอบหาข้อมูลการทำงาน

จากการทดสอบปรับค่าความถี่และคิวต์ไซเคิลเพื่อหาข้อมูลของการทำงาน พบว่าในช่วงความถี่ตั้งแต่ 1.5 – 70 kHz สามารถปรับค่าคิวต์ไซเคิลได้ตั้งแต่ 0 – 1 และที่ช่วงความถี่นากกว่า 70 kHz จนถึง 100 kHz สามารถปรับคิวต์ไซเคิลได้ตั้งแต่ 0.1 – 1 ผลการทดลองแสดงดังรูปที่ 4.19 และรูปที่ 4.20 ตามลำดับ



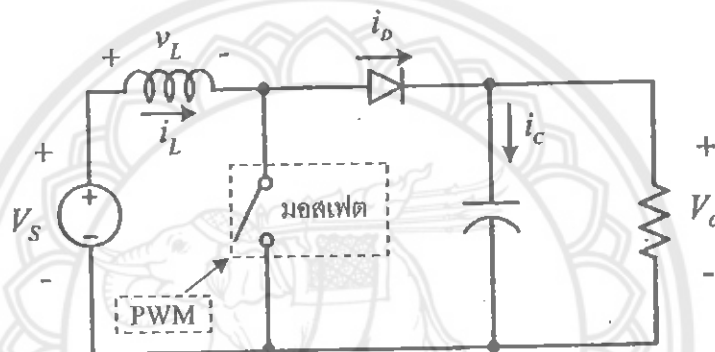
รูปที่ 4.19 สัญญาณพีคันเบิลยูอิ้นที่คิวต์ไซเคิล 0.1 ความถี่ 75 kHz



รูปที่ 4.20 สัญญาณพีคันเบิลยูอิ้นที่คิวต์ไซเคิล 0.1 ความถี่ 100 kHz

4.4 การทดสอบการขับมอเตอร์ไฟฟ้าของวงจรทบระดับแรงดัน

ในการทดสอบใช้สัญญาณพีดับเบิลยูเข้มเป็นสัญญาณสวิตชิ่งให้กับวงจรทบระดับแรงดัน (Step-up converter หรือ Boost converter) นั้น เนื่องจากแรงดันของสัญญาณพีดับเบิลยูเข้มที่ได้มีค่าขั้ตตอกบุญที่ 8.4 V ซึ่งไม่เพียงพอต่อการใช้เป็นสัญญาณสวิตชิ่งให้กับมอเตอร์ไฟฟ้ากำลังที่นำมาทดสอบจึงต้องมีวงจรขับ (Drive circuit) เพื่อเพิ่มระดับแรงดันเป็น 12 V ซึ่งสามารถนำไปขับมอเตอร์ไฟฟ้ากำลังได้ลักษณะการใช้งานแสดงดังรูปที่ 4.21 แต่ในทางกรณีที่ใช้มอเตอร์ไฟฟ้ากำลังที่มีพิกัดแรงดันน้อยกว่า 8.4 V ก็ไม่จำเป็นต้องใช้วงจรขับสัญญาณพีดับเบิลยูเข้ม ผลการทดลองแสดงดังตารางที่ 4.1 นำค่าที่ได้มาวาดกราฟได้ดังรูปที่ 4.22



รูปที่ 4.21 วงจรทบระดับแรงดัน

ตารางที่ 4.1 ค่าแรงดันด้านออก กระแสด้านเข้า กระแสด้านออกทั้งจากการทดลองและคำนวณ
ที่ค่าดิวตี้ไซเคิล 0.1 – 0.7 ความถี่ 30 kHz

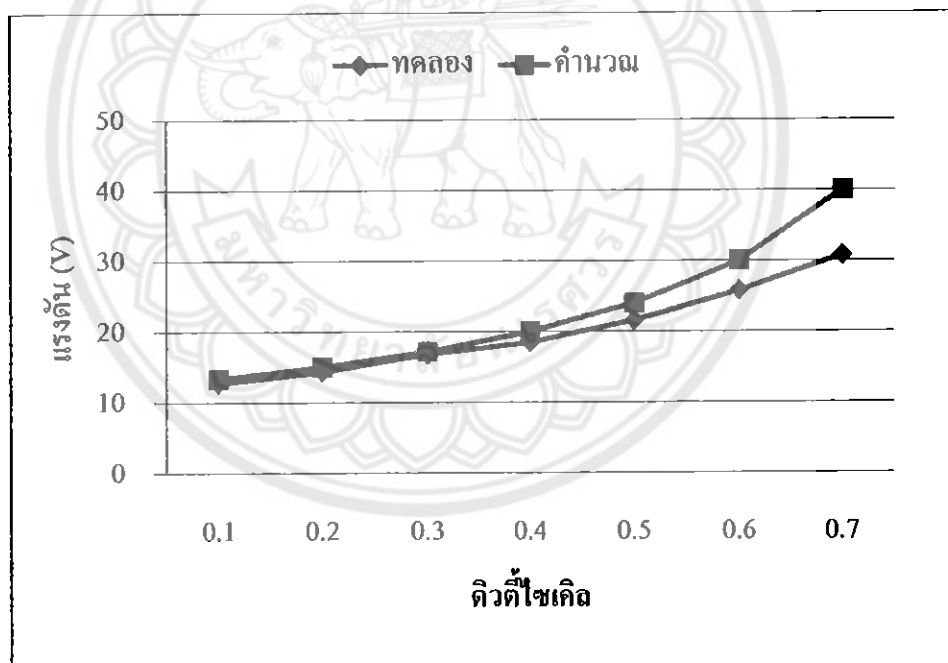
ดิวตี้ไซเคิล	แรงดันด้านออก (V)		กระแสด้านเข้า (A)		กระแสด้านออก (A)	
	ทดลอง	คำนวณ	ทดลอง	คำนวณ	ทดลอง	คำนวณ
0.1	12.69	13.33	0.068	0.067	0.058	0.061
0.2	14.26	15.00	0.084	0.085	0.063	0.068
0.3	16.75	17.14	0.109	0.111	0.071	0.078
0.4	18.46	20.00	0.143	0.152	0.081	0.091
0.5	21.55	24.00	0.199	0.218	0.095	0.109
0.6	25.79	30.00	0.302	0.341	0.115	0.136
0.7	30.78	40.00	0.448	0.606	0.129	0.182

แรงดันค่านออกคำนวนได้จากสมการ $V_{out}/V_{in} = 1/(1-D)$ ซึ่ง $V_{in} = 12 \text{ V}$

กระแสค่านออกคำนวนได้จากสมการ $I_{out} = V_{out}/R$ ซึ่ง $R = 220 \Omega$

กระแสค่านเข้าคำนวนได้จากสมการ $V_{in} I_{in} = V_{out} I_{out}$ ถ้าไม่คิดการสูญเสียในระบบ

ผลการทดสอบจะเห็นว่าเมื่อปรับคิวต์ไซเคิลเพิ่มขึ้นจะทำให้แรงดันค่านออกของวงจรทบทับแรงดันนั้นเพิ่มขึ้นด้วยและนำค่าแรงดันค่านออกมาเปรียบเทียบกัน จะสังเกตได้ว่าค่าแรงดันค่านออกจากการทดลองจะมีค่าต่ำกว่าค่าแรงดันค่านออกจากการคำนวณ เนื่องจากมอสเฟตไดโอด และตัวหนีบวนนี้ความต้านทานแฝงภายในอุปกรณ์ เมื่อคิวต์ไซเคิลเพิ่มขึ้นทำให้มีกระแสไหลผ่านอุปกรณ์ต่าง ๆ ในวงจรสูงขึ้น นั่นคือทำให้แรงดันตกคร่อมที่มอสเฟต ไดโอด และตัวหนีบวนมีค่าเพิ่มขึ้น ส่งผลให้แรงดันค่านออกมีค่าลดลง แรงดันค่านออกที่ได้จากการทดลองจึงมีค่าแตกต่างกับค่าทฤษฎีเพิ่มขึ้นคังรูปที่ 4.22 [5]



รูปที่ 4.22 กราฟแรงดันค่านออกของวงจรทบทับแรงดันที่แรงดันค่านเข้า 12 V

บทที่ 5

สรุปและข้อเสนอแนะ

ในบทนี้เป็นการสรุปผลการดำเนินโครงการและพร้อมให้ข้อเสนอแนะในการพัฒนา
โครงการนี้ต่อไป

5.1 สรุปผลการดำเนินโครงการ

ในโครงการนี้เป็นการออกแบบและสร้างสัญญาณพีดับเบิลยูอีม โดยเปรียบเทียบ
สัญญาณไฟกระแสตรง 15 V กับสัญญาณสามเหลี่ยมทำให้ได้สัญญาณพีดับเบิลยูอีม ซึ่งเมื่อ
ต้องการใช้งานที่ความถี่ตั้งแต่ 1.5 – 100 kHz สามารถปรับค่าคิวต์ไซเคิลได้ 0.1 – 1 แต่เมื่อต้องการ
ใช้งานที่ค่าคิวต์ไซเคิล 0 – 1 ค่าสามารถทำได้เช่นกัน แต่จะทำได้ที่ช่วงความถี่ 1.5 – 70 kHz ซึ่งการ
ใช้งานโดยส่วนใหญ่จะใช้งานที่ค่าคิวต์ไซเคิล 0.1 – 0.9 ดังนั้นเครื่องกำเนิดสัญญาณพีดับเบิลยูอีม
นี้สามารถตอบสนองต่อการใช้งานได้ตั้งแต่ 1.5 – 100 kHz

5.2 ปัญหาและแนวทางแก้ไข

- ค่าขอดของสัญญาณพีดับเบิลยูอีมที่ได้คือ 8.4 V ซึ่งอาจมีค่าน้อยในการใช้งานใน
บางกรณี แนวทางแก้ไขคือใช้วงจรบักสัญญาณพีดับเบิลยูอีมที่ได้หรือเลือกใช้ไอซี
ที่มีพิกัดแรงดันสูงกว่า 15 V และ -15 V ซึ่งจะทำให้ได้แรงดันด้านออกของเครื่อง
กำเนิดสัญญาณพีดับเบิลยูอีมที่มากขึ้นด้วย
- ในการใช้งานเครื่องกำเนิดสัญญาณพีดับเบิลยูอีมต้องระวังในเรื่องแรงดันเกินและ
กระแสเกิน ซึ่งอาจทำให้ไอซี LF351 และอุปกรณ์อิเล็กทรอนิกส์อื่น ๆ ในวงจร
เสียหายได้ แนวทางแก้ไขคือ เมื่อจากพิกัดแรงดันและกระแสของไอซีคือ 18 V
และ 3.4 mA ตามคำศัพด์ ดังนั้นจึงไม่ควรใช้งานกับแรงดันและกระแสมากกว่าที่
กำหนด

5.3 แนวทางในการพัฒนาต่อไป

เครื่องกำเนิดสัญญาณพีดับเบิลยูอีนี้สามารถดำเนินไปใช้งานสร้างสัญญาณพัลส์ให้กับวงจรสวิตซิ่ง เช่น การขับนอสเฟตสำหรับควบคุมความเร็วขององนอเตอร์และตัวแปลงผันกำลังกระแสตรงชนิดต่าง ๆ โดยความถี่ที่สร้างได้มีค่าตั้งแต่ 1.5 kHz ถึง 100 kHz ซึ่งหากสามารถพัฒนาวงจรให้มีความถี่มากกว่า 100 kHz โดยที่รูปสัญญาณบังคับไม่เปลี่ยนแปลงจะทำให้เป็นประโยชน์อย่างยิ่งสำหรับการใช้งานที่ต้องการความถี่สูง และหากสามารถพัฒนาให้ระดับค่าขอดของสัญญาณพีดับเบิลยูอีนมีค่ามากกว่าหรือเท่ากับ 15 V ได้ จะทำให้ลดวงจรขับสัญญาณลงซึ่งเป็นการประหยัดค่าใช้จ่ายและเนื้อที่ในการสร้างวงจร และเมื่อมีการเพิ่มวงจรขับสัญญาณอาจทำให้มีการสูญเสียในวงจรเพิ่มขึ้น ส่งผลให้ประสิทธิภาพของวงจรพีดับเบิลยูอีนลดลงด้วยเห็นได้



เอกสารอ้างอิง

- [1] Jack Winzer, “Linear Integrated Circuit”, Georgian College, Barrie, Ontario.
- [2] มนตรี ศิริปรัชญาณนันท์ และปราโมทย์ วากเจียน “การกำเนิดสัญญาณผลอนุพันธ์ PWM ที่มีความถี่คงที่โดยใช้วงจรชนิดทริกเกอร์แบบใหม่”, สถาบันเทคโนโลยีพระจอมเกล้าฯ พระนคร เนื่อง, กรุงเทพ, 2544.
- [3] ชิตชัย สุทธาศิวน “วงจรพัลส์เมืองต้น”, เอราวัณการพิมพ์, กรุงเทพ, 2525.
- [4] ดร.สิทธิชัย โภไกยอุดม “วงจรป้อนกลับแบบบลูนและออสซิลเลเตอร์”, มหาวิทยาลัยเทคโนโลยี มหานคร
- [5] วีระเชษฐ์ ขันเงิน และ วุฒิพลด ธรรมเรืองศรี “อิเล็กทรอนิกส์กำลัง”, ห้างหุ้นส่วนจำกัด วี.เจ. พรีนติ้ง, กรุงเทพฯ, 2547
- [6] นภัทร วัจนเทพินทร์ “ทดลองวีและกราฟออกแบบวงจรพัลส์”, บริษัทสยามสปอร์ต ชินคิเกท จำกัด, กรุงเทพ, 2547.

ภาคผนวก ก

รายละเอียดของไอซีหมายเลข LM7815





L7800 SERIES

POSITIVE VOLTAGE REGULATORS

- OUTPUT CURRENT TO 1.5A
- OUTPUT VOLTAGES OF 5; 5.2; 6; 8; 8.5; 9; 10; 12; 15; 18; 24V
- THERMAL OVERLOAD PROTECTION
- SHORT CIRCUIT PROTECTION
- OUTPUT TRANSITION SOA PROTECTION

DESCRIPTION

The L7800 series of three-terminal positive regulators is available in TO-220, TO-220FP, TO-220FM, TO-3 and D²PAK packages and several fixed output voltages, making it useful in a wide range of applications. These regulators can provide local on-card regulation, eliminating the distribution problems associated with single point regulation. Each type employs internal current limiting, thermal shut-down and safe area protection, making it essentially indestructible. If adequate heat sinking is provided, they can deliver over 1A output current. Although designed primarily as fixed voltage regulators, these devices can be used with external components to obtain adjustable voltage and currents.

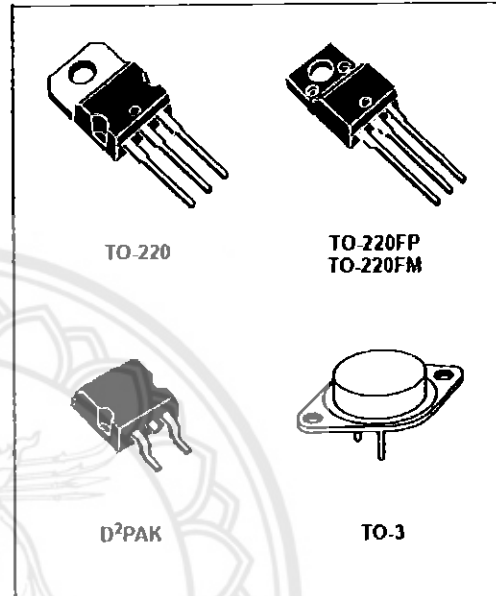
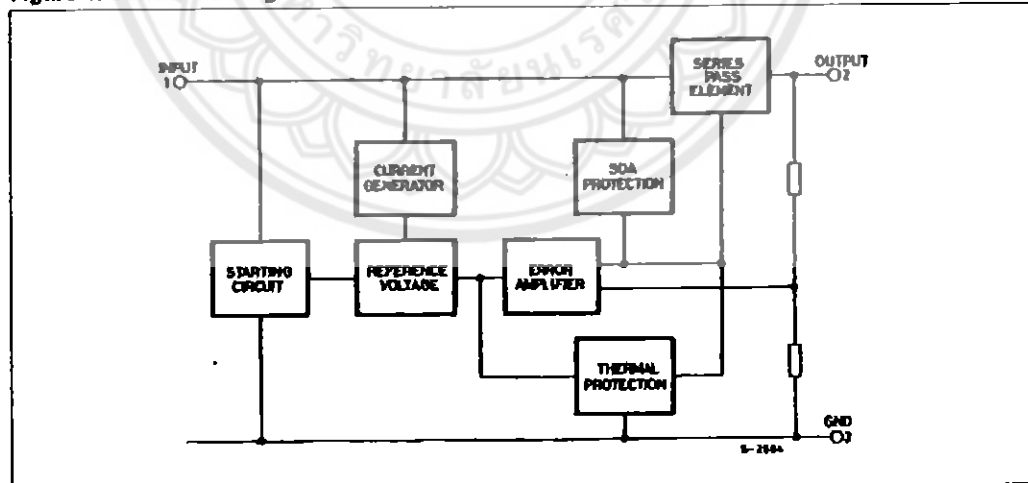


Figure 1: Schematic Diagram



L7800 SERIES

Table 1: Absolute Maximum Ratings

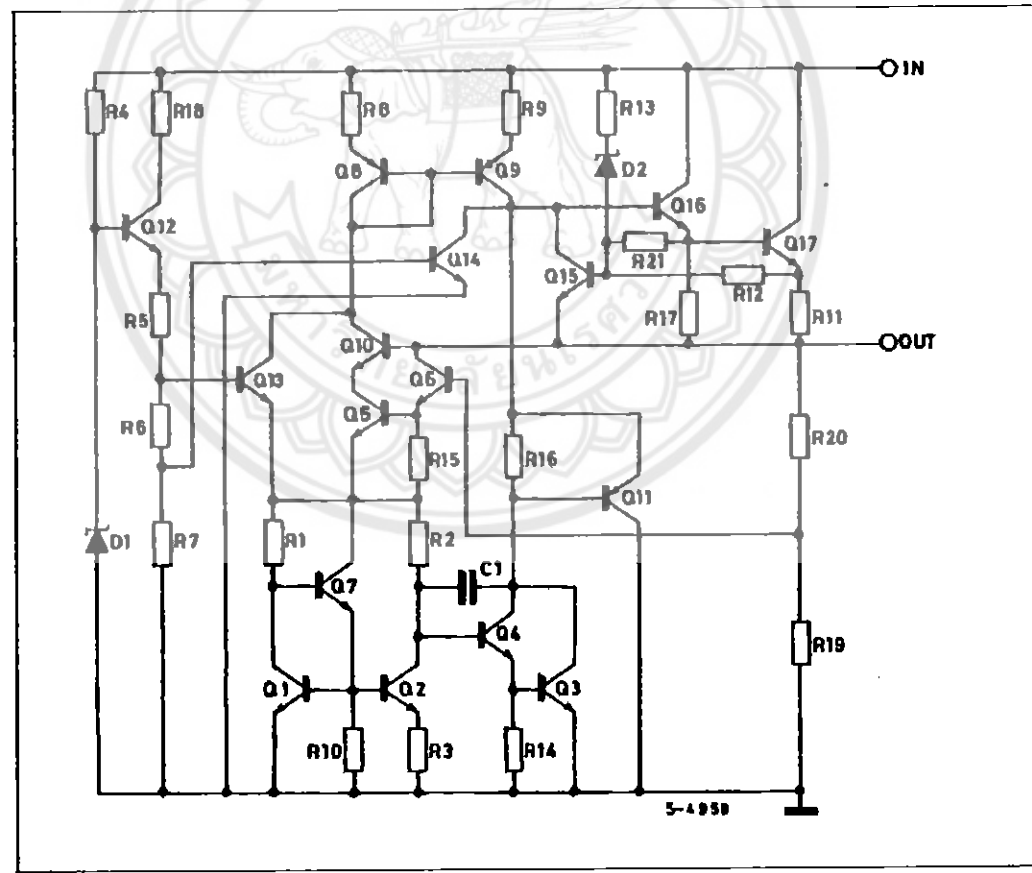
Symbol	Parameter		Value	Unit
V_I	DC Input Voltage	for $V_O = 5$ to 18V	35	V
		for $V_O = 20, 24V$	40	
I_O	Output Current		Internally Limited	
P_{tot}	Power Dissipation		Internally Limited	
T_{stg}	Storage Temperature Range		-65 to 150	°C
T_{op}	Operating Junction Temperature Range	for L7800	-55 to 150	°C
		for L7800C	0 to 150	

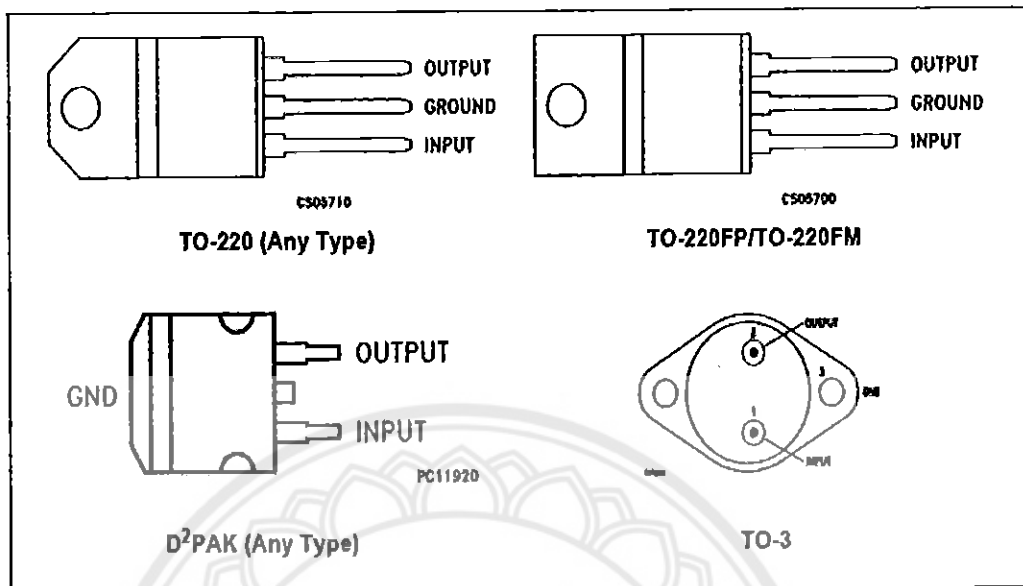
Absolute Maximum Ratings are those values beyond which damage to the device may occur. Functional operation under these condition is not implied.

Table 2: Thermal Data

Symbol	Parameter	D ² PAK	TO-220	TO-220FP	TO-220FM	TO-3	Unit
$R_{th-case}$	Thermal Resistance Junction-case Max	3	5	5	5	4	°C/W
R_{th-amb}	Thermal Resistance Junction-ambient Max	62.5	50	60	60	35	°C/W

Figure 2: Schematic Diagram



L7800 SERIES**Figure 3: Connection Diagram (top view)****Table 3: Order Codes**

TYPE	TO-220 (A Type)	TO-220 (C Type)	TO-220 (E Type)	D²PAK (A Type) (*)	D²PAK (C Type) (T & R)	TO-220FP	TO-220FM	TO-3
L7805								L7805T
L7805C	L7805CV	L7805C-V	L7805CV1	L7805CD2T	L7805C-D2TR	L7805CP	L7805CF	L7805CT
L7852C	L7852CV			L7852CD2T		L7852CP	L7852CF	L7852CT
L7806								L7806T
L7806C	L7806CV	L7806C-V		L7806CD2T		L7806CP	L7806CF	L7806CT
L7808								L7808T
L7808C	L7808CV	L7808C-V		L7808CD2T		L7808CP	L7808CF	L7808CT
L7885C	L7885CV			L7885CD2T		L7885CP	L7885CF	L7885CT
L7809C	L7809CV	L7809C-V		L7809CD2T		L7809CP	L7809CF	L7809CT
L7810C	L7810CV			L7810CD2T		L7810CP		
L7812								L7812T
L7812C	L7812CV	L7812C-V		L7812CD2T		L7812CP	L7812CF	L7812CT
L7815								L7815T
L7815C	L7815CV	L7815C-V		L7815CD2T		L7815CP	L7815CF	L7815CT
L7818								L7818T
L7818C	L7818CV			L7818CD2T		L7818CP	L7818CF	L7818CT
L7820								L7820T
L7820C	L7820CV			L7820CD2T		L7820CP	L7820CF	L7820CT
L7824								L7824T
L7824C	L7824CV			L7824CD2T		L7824CP	L7824CF	L7824CT

(*) Available in Tape & Reel with the suffix "-TR".

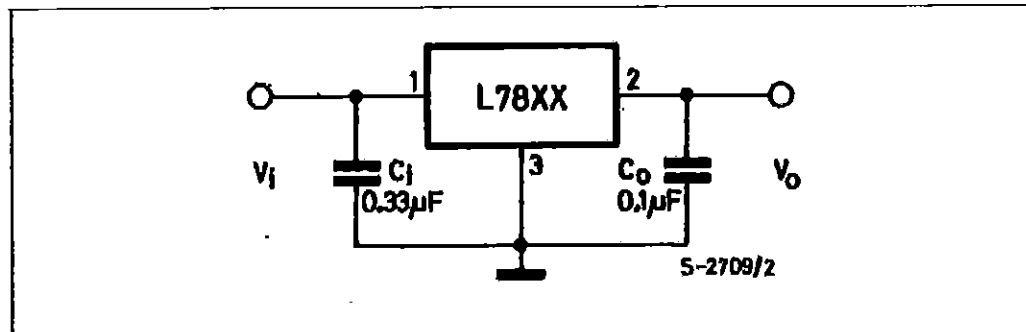
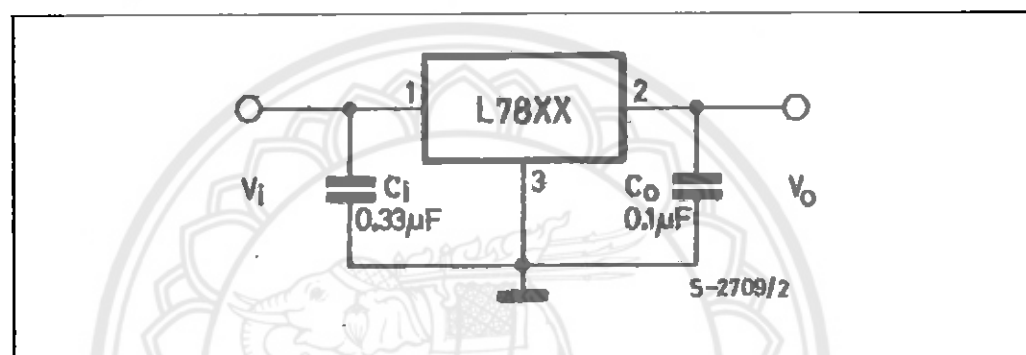
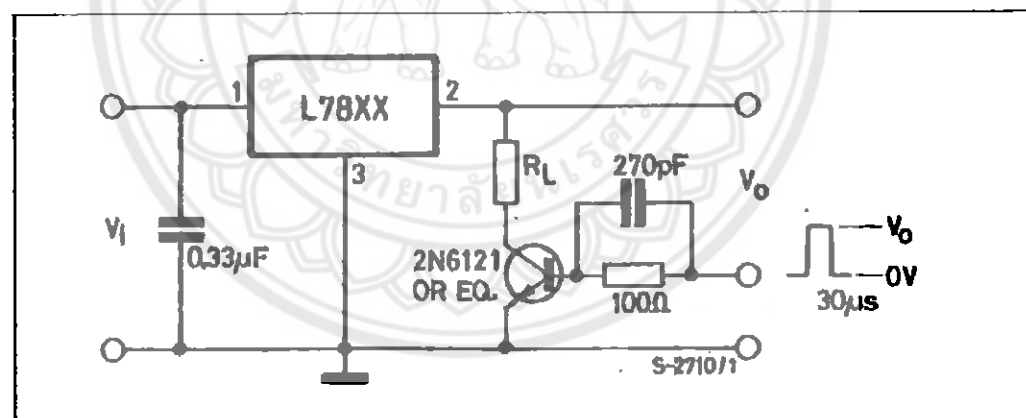
Figure 4: Application Circuits**TEST CIRCUITS****Figure 5: DC Parameter****Figure 6: Load Regulation**

Table 6: Electrical Characteristics Of L7808 (refer to the test circuits, $T_J = -55$ to 150°C , $V_I = 14\text{V}$, $I_O = 500\text{ mA}$, $C_I = 0.33\text{ }\mu\text{F}$, $C_O = 0.1\text{ }\mu\text{F}$ unless otherwise specified).

Symbol	Parameter	Test Conditions	Min.	Typ.	Max.	Unit
V_O	Output Voltage	$T_J = 25^\circ\text{C}$	7.7	8	8.3	V
V_O	Output Voltage	$I_O = 5\text{ mA to }1\text{ A}$ $P_O \leq 15\text{W}$ $V_I = 11.5$ to 23 V	7.6	8	8.4	V
$\Delta V_O(^*)$	Line Regulation	$V_I = 10.5$ to 25 V $T_J = 25^\circ\text{C}$			80	mV
		$V_I = 11$ to 17 V $T_J = 25^\circ\text{C}$			40	
$\Delta V_O(^*)$	Load Regulation	$I_O = 5\text{ mA to }1.5\text{ A}$ $T_J = 25^\circ\text{C}$			100	mV
		$I_O = 250$ to 750 mA $T_J = 25^\circ\text{C}$			40	
I_d	Quiescent Current	$T_J = 25^\circ\text{C}$			6	mA
ΔI_d	Quiescent Current Change	$I_O = 5\text{ mA to }1\text{ A}$			0.5	mA
		$V_I = 11.5$ to 25 V			0.8	
$\Delta V_O/\Delta T$	Output Voltage Drift	$I_O = 5\text{ mA}$		1		mV/°C
eN	Output Noise Voltage	$B = 10\text{Hz to }100\text{KHz}$ $T_J = 25^\circ\text{C}$			40	$\mu\text{V}/V_O$
SVR	Supply Voltage Rejection	$V_I = 11.5$ to 21.5 V $f = 120\text{Hz}$	62			dB
V_d	Dropout Voltage	$I_O = 1\text{ A}$ $T_J = 25^\circ\text{C}$			2	2.5
R_O	Output Resistance	$f = 1\text{ KHz}$			16	$\text{m}\Omega$
I_{sc}	Short Circuit Current	$V_I = 35\text{ V}$ $T_J = 25^\circ\text{C}$			0.75	A
I_{scp}	Short Circuit Peak Current	$T_J = 25^\circ\text{C}$	1.3	2.2	3.3	A

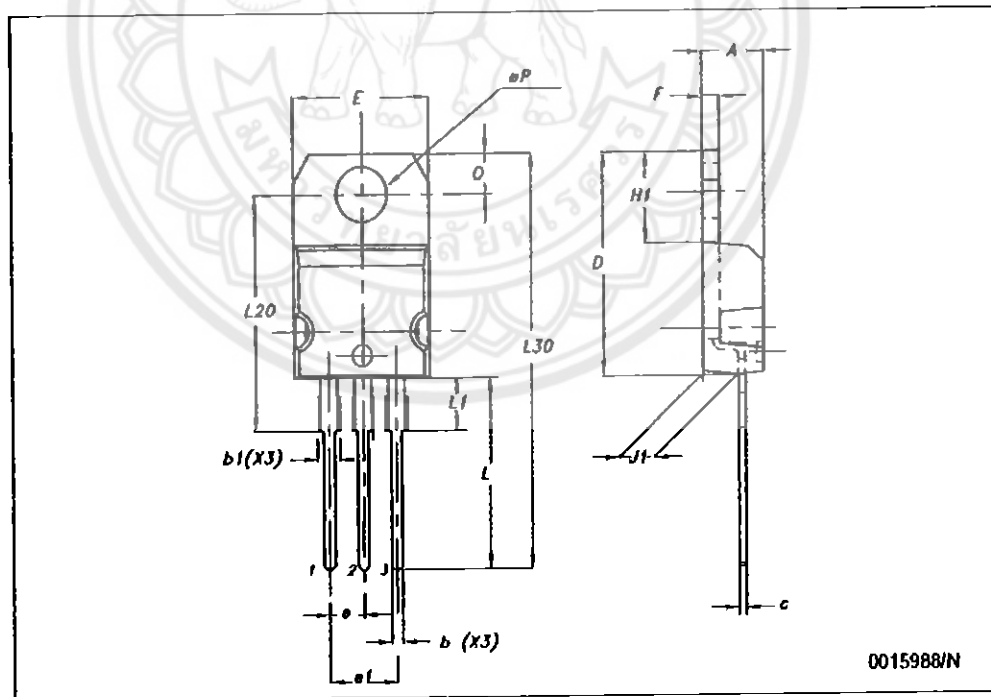
(*) Load and line regulation are specified at constant junction temperature. Changes in V_O due to heating effects must be taken into account separately. Pulse testing with low duty cycle is used.



L7800 SERIES

TO-220 (A TYPE) MECHANICAL DATA

DIM.	mm.			inch		
	MIN.	TYP.	MAX.	MIN.	TYP.	MAX.
A	4.40		4.60	0.173		0.181
b	0.61		0.88	0.024		0.034
b1	1.15		1.70	0.045		0.067
c	0.49		0.70	0.019		0.027
D	15.25		15.75	0.600		0.620
E	10.0		10.40	0.393		0.409
e	2.4		2.7	0.094		0.106
e1	4.95		5.15	0.194		0.203
F	1.23		1.32	0.048		0.051
H1	6.2		6.6	0.244		0.260
J1	2.40		2.72	0.094		0.107
L	13.0		14.0	0.511		0.551
L1	3.5		3.93	0.137		0.154
L20		16.4			0.645	
L30		28.9			1.138	
φP	3.75		3.85	0.147		0.151
Q	2.65		2.95	0.104		0.116



ภาคผนวก ข

รายละเอียดของไอซีพีหมายเลข LM7915



มหาวิทยาลัยเรศวร

LM79XX Series

3-Terminal Negative Regulators

General Description

The LM79XX series of 3-terminal regulators is available with fixed output voltages of -5V, -12V, and -15V. These devices need only one external component—a compensation capacitor at the output. The LM79XX series is packaged in the TO-220 power package and is capable of supplying 1.5A of output current.

These regulators employ internal current limiting, safe area protection and thermal shutdown for protection against virtually all overload conditions.

Low ground pin current of the LM79XX series allows output voltage to be easily boosted above the preset value with a

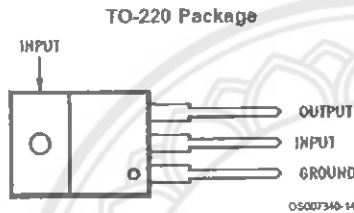
resistor divider. The low quiescent current drain of these devices with a specified maximum change with line and load ensures good regulation in the voltage boosted mode.

For applications requiring other voltages, see LM137 datasheet.

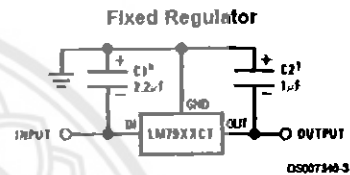
Features

- Thermal, short circuit and safe area protection
- High ripple rejection
- 1.5A output current
- 4% tolerance on preset output voltage

Connection Diagrams



Typical Applications



*Required if regulator is separated from filter capacitor by more than 3". For value given, capacitor must be solid tantalum. 25μF aluminum electrolytic may be substituted.

†Required for stability. For value given, capacitor must be solid tantalum. 25μF aluminum electrolytic may be substituted. Values given may be increased without limit.

For output capacitance in excess of 100μF, a high current diode from input to output (1N4001, etc.) will protect the regulator from momentary input shorts.

Absolute Maximum Ratings (Note 1)

If Military/Aerospace specified devices are required, please contact the National Semiconductor Sales Office/Distributors for availability and specifications.

Input Voltage ($V_o = -5V$)	-25V	Input-Output Differential ($V_o = -5V$)	25V
($V_o = -12V$ and $-15V$)	-35V	($V_o = -12V$ and $-15V$)	30V
		Power Dissipation (Note 2)	Internally Limited
		Operating Junction Temperature Range	0°C to +125°C
		Storage Temperature Range	-65°C to +150°C
		Lead Temperature (Soldering, 10 sec.)	230°C

Electrical Characteristics

Conditions unless otherwise noted: $I_{out} = 500mA$, $C_{IN} = 2.2\mu F$, $C_{OUT} = 1\mu F$, $0°C \leq T_j \leq +125°C$, Power Dissipation $\leq 1.5W$.

Part Number			LM7905C			Units	
Output Voltage			-6V				
Input Voltage (unless otherwise specified)			-10V				
Symbol	Parameter	Conditions	Min	Typ	Max		
V_o	Output Voltage	$T_j = 25°C$ $5mA \leq I_{out} \leq 1A$, $P \leq 15W$	-4.8 -4.75 ($-20 \leq V_{IN} \leq -7$)	-5.0 -5.25	-5.2	V	
ΔV_o	Line Regulation	$T_j = 25°C$, (Note 3)	8 ($-25 \leq V_{IN} \leq -7$)	50	mV	V	
			2 ($-12 \leq V_{IN} \leq -8$)	15	mV	V	
ΔV_o	Load Regulation	$T_j = 25°C$, (Note 3) $5mA \leq I_{out} \leq 1.5A$ $250mA \leq I_{out} \leq 750mA$	15 5	100 50	mV	mV	
I_q	Quiescent Current	$T_j = 25°C$	1	2	mA		
ΔI_q	Quiescent Current Change	With Line		0.5	mA	V	
		With Load, $5mA \leq I_{out} \leq 1A$		0.5	mA		
V_n	Output Noise Voltage	$T_A = 25°C$, $10Hz \leq f \leq 100Hz$	125			µV	
	Ripple Rejection	$f = 120Hz$	54 ($-18 \leq V_{IN} \leq -8$)	66		dB	
	Dropout Voltage	$T_j = 25°C$, $I_{out} = 1A$	1.1			V	
I_{MAX}	Peak Output Current	$T_j = 25°C$	2.2			A	
	Average Temperature	$I_{out} = 5mA$,	0.4			mV/C	
	Coefficient of Output Voltage	$0°C \leq T_j \leq 100°C$					

Electrical Characteristics

Conditions unless otherwise noted: $I_{out} = 500mA$, $C_{IN} = 2.2\mu F$, $C_{OUT} = 1\mu F$, $0°C \leq T_j \leq +125°C$, Power Dissipation $\leq 1.5W$.

Part Number			LM7912C			LM7916C	Units	
Output Voltage			-12V					
Input Voltage (unless otherwise specified)			-19V			-23V		
Symbol	Parameter	Conditions	Min	Typ	Max	Min	Typ	
V_o	Output Voltage	$T_j = 25°C$ $5mA \leq I_{out} \leq 1A$, $P \leq 15W$	-11.5 -11.4 ($-27 \leq V_{IN} \leq -14.5$)	-12.0 -12.6 ($-30 \leq V_{IN} \leq -17.5$)	-12.5 -14.4 -15.0	-14.4 -14.25 -15.75	-15.6 -15.75	
ΔV_o	Line Regulation	$T_j = 25°C$, (Note 3)	5 ($-30 \leq V_{IN} \leq -14.5$)	80	100	5 ($-30 \leq V_{IN} \leq -17.5$)	mV	
			3 ($-22 \leq V_{IN} \leq -16$)	30	50	3 ($-26 \leq V_{IN} \leq -20$)	mV	
ΔV_o	Load Regulation	$T_j = 25°C$, (Note 3)						

Electrical Characteristics (Continued)

Conditions unless otherwise noted: $I_{OUT} = 500\text{mA}$, $C_{IN} = 2.2\mu\text{F}$, $C_{OUT} = 1\mu\text{F}$, $0^\circ\text{C} \leq T_J \leq +125^\circ\text{C}$, Power Dissipation $\leq 1.5\text{W}$.

Part Number			LM7912C			LM7915C			Units	
Output Voltage			-12V			-16V				
Input Voltage (unless otherwise specified)			-19V			-23V				
Symbol	Parameter	Conditions	Min	Typ	Max	Min	Typ	Max		
		$5\text{mA} \leq I_{OUT} \leq 1.5\text{A}$ $250\text{mA} \leq I_{OUT} \leq 750\text{mA}$		15	200		15	200	mV	
I_Q	Quiescent Current	$T_J = 25^\circ\text{C}$		1.5	3		1.5	3	mA	
ΔI_Q	Quiescent Current Change	With Line			0.5			0.5	mA	
		With Load, $5\text{mA} \leq I_{OUT} \leq 1\text{A}$		(-30 $\leq V_{IN} \leq -14.5$)	0.5	(-30 $\leq V_{IN} \leq -17.5$)		0.5	V	
V_n	Output Noise Voltage	$T_A = 25^\circ\text{C}$, $10\text{Hz} \leq f \leq 100\text{Hz}$	300			375			μV	
	Ripple Rejection	$f = 120\text{ Hz}$	54	70		54	70		dB	
			(-25 $\leq V_{IN} \leq -15$)			(-30 $\leq V_{IN} \leq -17.5$)			V	
	Dropout Voltage	$T_J = 25^\circ\text{C}$, $I_{OUT} = 1\text{A}$		1.1			1.1		V	
I_{OMAX}	Peak Output Current	$T_J = 25^\circ\text{C}$		2.2			2.2		A	
	Average Temperature Coefficient of Output Voltage	$I_{OUT} = 5\text{mA}$, $0^\circ\text{C} \leq T_J \leq 100^\circ\text{C}$		-0.8			-1.0		mV/C	

Note 1: Absolute Maximum Ratings indicate limits beyond which damage to the device may occur. Operating Ratings indicate conditions for which the device is intended to be functional, but do not guarantee Specific Performance limits. For guaranteed specifications and test conditions, see the Electrical Characteristics.

Note 2: Refer to Typical Performance Characteristics and Design Considerations for details.

Note 3: Regulation is measured at a constant junction temperature by pulse testing with a low duty cycle. Changes in output voltage due to heating effects must be taken into account.

Design Considerations

The LM79XX fixed voltage regulator series has thermal overload protection from excessive power dissipation, internal short circuit protection which limits the circuit's maximum current, and output transistor safe-area compensation for reducing the output current as the voltage across the pass transistor is increased.

Although the internal power dissipation is limited, the junction temperature must be kept below the maximum specified temperature (125°C) in order to meet data sheet specifications. To calculate the maximum junction temperature or heat sink required, the following thermal resistance values should be used:

Package	Typ	Max	Typ	Max
	θ_{JC} 'C/W	θ_{JC} 'C/W	θ_{JA} 'C/W	θ_{JA} 'C/W
TO-220	3.0	5.0	60	40

$$P_{D MAX} = \frac{T_{J MAX} - T_A}{\theta_{JC} + \theta_{CA}} \text{ or } \frac{T_{J MAX} - T_A}{\theta_{JA}}$$

$$\theta_{CA} = \theta_{CS} + \theta_{SA} \text{ (without heat sink)}$$

Solving for T_J :

$$T_J = T_A + P_D (\theta_{JC} + \theta_{CA}) \text{ or} \\ = T_A + P_D \theta_{JA} \text{ (without heat sink)}$$

Where:

T_J = Junction Temperature

T_A = Ambient Temperature

P_D = Power Dissipation

θ_{JA} = Junction-to-Ambient Thermal Resistance

θ_{JC} = Junction-to-Case Thermal Resistance

θ_{CA} = Case-to-Ambient Thermal Resistance

θ_{CS} = Case-to-Heat Sink Thermal Resistance

θ_{SA} = Heat Sink-to-Ambient Thermal Resistance

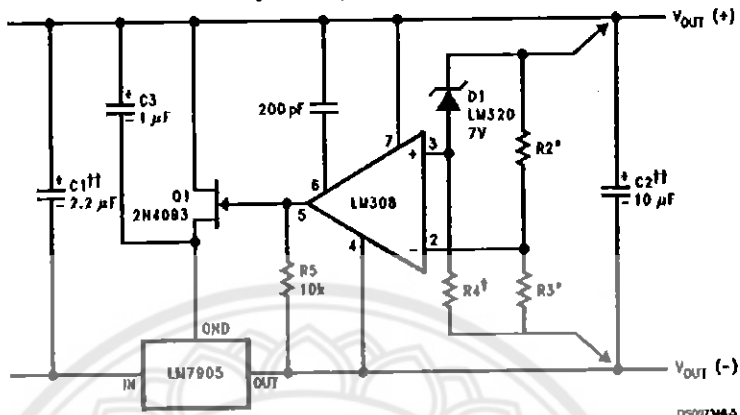
Typical Applications

Bypass capacitors are necessary for stable operation of the LM79XX series of regulators over the input voltage and output current ranges. Output bypass capacitors will improve the transient response by the regulator.

The bypass capacitors, (2.2 μ F on the input, 1.0 μ F on the output) should be ceramic or solid tantalum which have good

high frequency characteristics. If aluminum electrolytics are used, their values should be 10 μ F or larger. The bypass capacitors should be mounted with the shortest leads, and if possible, directly across the regulator terminals.

High Stability 1 Amp Regulator



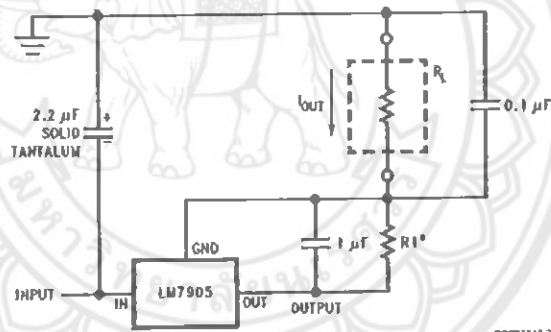
Load and line regulation $< 0.01\%$, temperature stability $\leq 0.2\%$

¹Determine Zener current

¹¹Solid tantalum

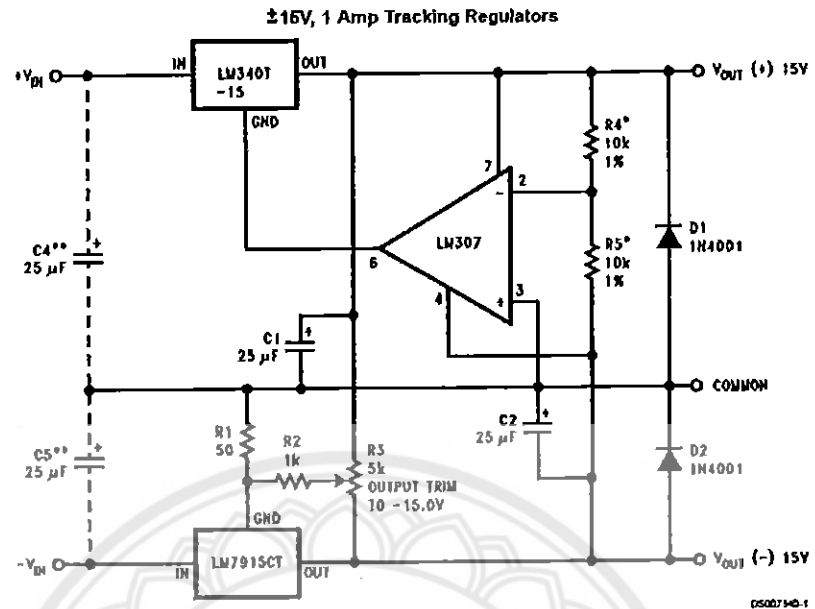
^{*}Select resistors to set output voltage. 2 ppm/ $^{\circ}$ C tracking suggested

Current Source



$$I_{OUT} = 1 \text{ mA} + \frac{5V}{R1}$$

Typical Applications (Continued)



Load Regulation at $\Delta I_L = 1\text{A}$

(-15) (+15)

40mV

2mV

Output Ripple, $C_{IN} = 3000\mu\text{F}$, $I_L = 1\text{A}$

100 μVRms

100 μVRms

Temperature Stability

50mV

50mV

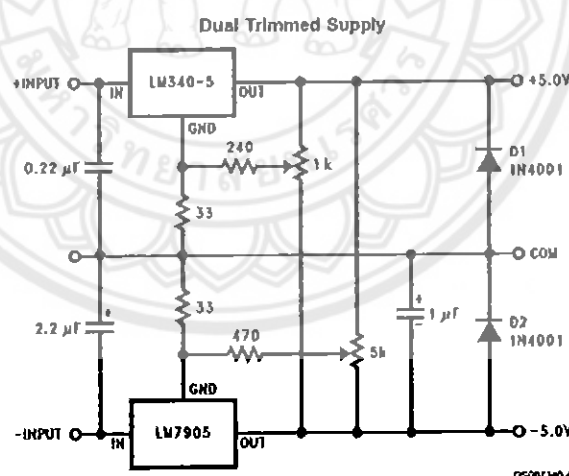
Output Noise $10\text{Hz} \leq f \leq 10\text{kHz}$

150 μVRms

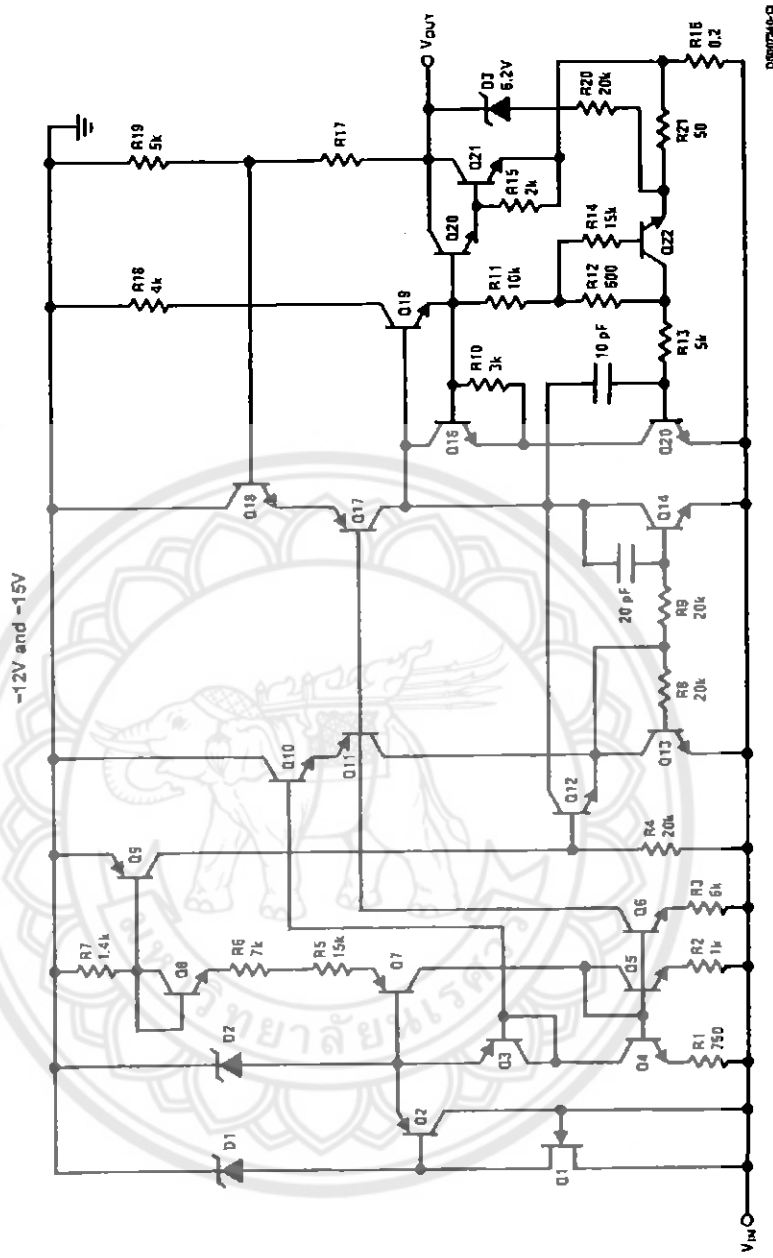
150 μVRms

*Resistor tolerance of R4 and R5 determine matching of (+) and (-) outputs.

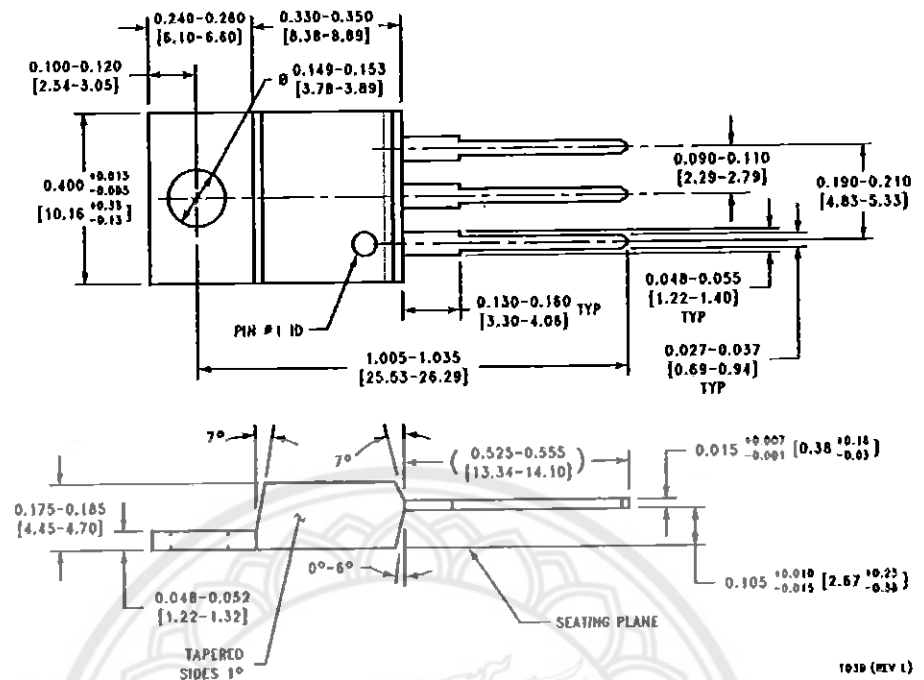
**Necessary only if raw supply filter capacitors are more than 3" from regulators.



Schematic Diagrams (Continued)



Physical Dimensions Inches (millimeters) unless otherwise noted



TO-220 Outline Package (T)
Order Number LM7905CT, LM7912CT or LM7915CT
NS Package Number T03B

LIFE SUPPORT POLICY

NATIONAL'S PRODUCTS ARE NOT AUTHORIZED FOR USE AS CRITICAL COMPONENTS IN LIFE SUPPORT DEVICES OR SYSTEMS WITHOUT THE EXPRESS WRITTEN APPROVAL OF THE PRESIDENT AND GENERAL COUNSEL OF NATIONAL SEMICONDUCTOR CORPORATION. As used herein:

1. Life support devices or systems are devices or systems which, (a) are intended for surgical implant into the body, or (b) support or sustain life, and whose failure to perform when properly used in accordance with instructions for use provided in the labeling, can be reasonably expected to result in a significant injury to the user.
2. A critical component is any component of a life support device or system whose failure to perform can be reasonably expected to cause the failure of the life support device or system, or to affect its safety or effectiveness.

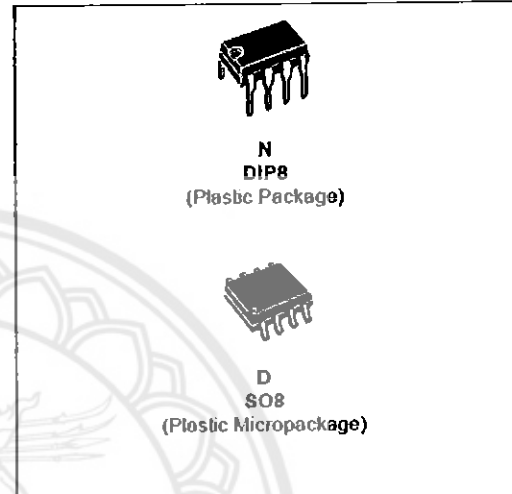




**LF151
LF251 - LF351**

WIDE BANDWIDTH SINGLE J-FET OPERATIONAL AMPLIFIER

- INTERNALLY ADJUSTABLE INPUT OFFSET VOLTAGE
- LOW POWER CONSUMPTION
- WIDE COMMON-MODE (UP TO V_{CC}^+) AND DIFFERENTIAL VOLTAGE RANGE
- LOW INPUT BIAS AND OFFSET CURRENT
- OUTPUT SHORT-CIRCUIT PROTECTION
- HIGH INPUT IMPEDANCE J-FET INPUT STAGE
- INTERNAL FREQUENCY COMPENSATION
- LATCH UP FREE OPERATION
- HIGH SLEW RATE : 16V/ μ s (typ)

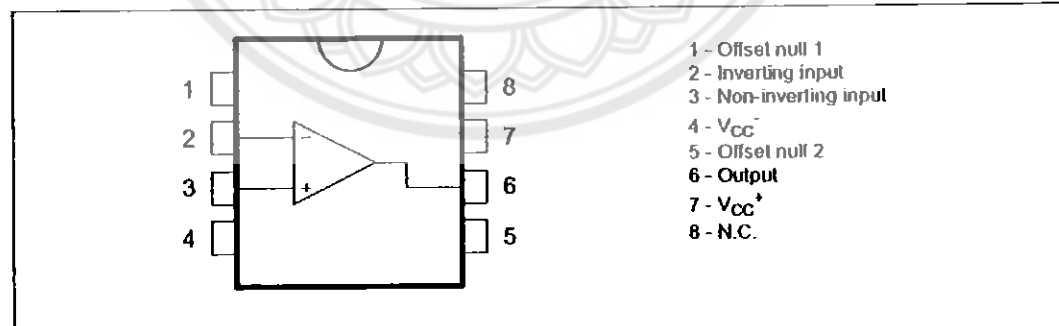


DESCRIPTION

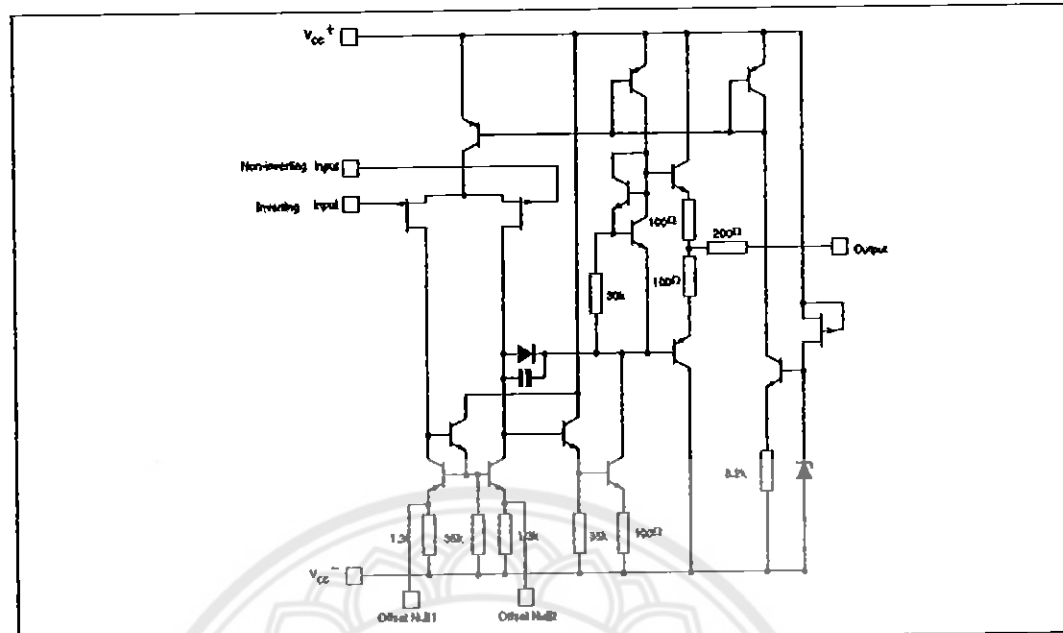
These circuits are high speed J-FET input single-operational amplifiers incorporating well matched, high voltage J-FET and bipolar transistors in a monolithic integrated circuit.

The devices feature high slew rates, low input bias and offset currents, and low offset voltage temperature coefficient.

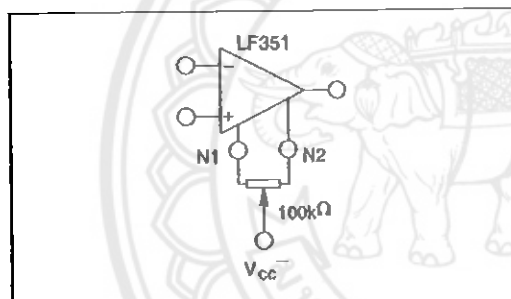
PIN CONNECTIONS (top view)



SCHEMATIC DIAGRAM



INPUT OFFSET VOLTAGE NULL CIRCUIT



ABSOLUTE MAXIMUM RATINGS

Symbol	Parameter	LF151	LF251	LF351	Unit
V_{CC}	Supply voltage - note 1)		± 18		V
V_I	Input Voltage - note 2)		± 15		V
V_{Id}	Differential Input Voltage - note 3)		± 30		V
P_{diss}	Power Dissipation		680		mW
	Output Short-circuit Duration - note 4)		Infinite		
T_{oper}	Operating Free-air Temperature Range	-55 to +125	-40 to +105	0 to +70	°C
T_{stg}	Storage Temperature Range		-65 to +150		°C

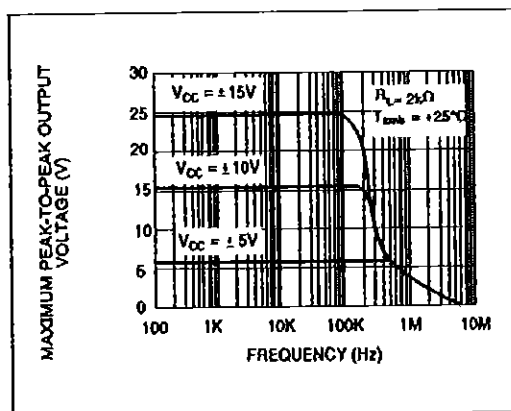
1. All voltage values, except differential voltage, are with respect to the zero reference level (ground) of the supply voltages where the zero reference level is the midpoint between V_{CC} and V_{EE} .
 2. The magnitude of the input voltage must never exceed the magnitude of the supply voltage or 15 volts, whichever is less.
 3. Differential voltages are the non-inverting input terminal with respect to the inverting input terminal.
 4. The output may be shorted to ground or to either supply. Temperature and/or supply voltages must be limited to ensure that the dissipation rating is not exceeded.

ELECTRICAL CHARACTERISTICS $V_{CC} = \pm 15V, T_{amb} = +25^{\circ}C$ (unless otherwise specified)

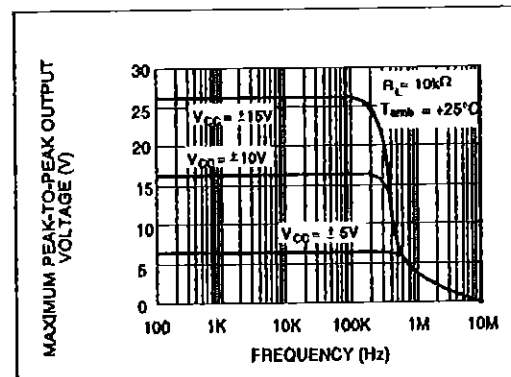
Symbol	Parameter	Min.	Typ.	Max.	Unit
V_{IO}	Input Offset Voltage ($R_S = 10k\Omega$) $T_{amb} = +25^{\circ}C$ $T_{min} \leq T_{amb} \leq T_{max}$		3	10 13	mV
DV_{IO}	Input Offset Voltage Drift		10		$\mu V/^{\circ}C$
I_{IO}	Input Offset Current -note 1) $T_{amb} = +25^{\circ}C$ $T_{min} \leq T_{amb} \leq T_{max}$		5	100 4	pA nA
I_{IB}	Input Bias Current -note 1 $T_{amb} = +25^{\circ}C$ $T_{min} \leq T_{amb} \leq T_{max}$		20	200 20	nA
A_{vd}	Large Signal Voltage Gain ($R_L = 2k\Omega, V_o = \pm 10V$) $T_{amb} = +25^{\circ}C$ $T_{min} \leq T_{amb} \leq T_{max}$	50 25	200		V/mV
SVR	Supply Voltage Rejection Ratio ($R_S = 10k\Omega$) $T_{amb} = +25^{\circ}C$ $T_{min} \leq T_{amb} \leq T_{max}$	80 80	86		dB
I_{CC}	Supply Current, no load $T_{amb} = +25^{\circ}C$ $T_{min} \leq T_{amb} \leq T_{max}$		1.4	3.4 3.4	mA
V_{ICM}	Input Common Mode Voltage Range	± 11	+15 -12		V
CMR	Common Mode Rejection Ratio ($R_S = 10k\Omega$) $T_{amb} = +25^{\circ}C$ $T_{min} \leq T_{amb} \leq T_{max}$	70 70	86		dB
I_{OS}	Output Short-circuit Current $T_{amb} = +25^{\circ}C$ $T_{min} \leq T_{amb} \leq T_{max}$	10 10	40	60 60	mA
$\pm V_{opp}$	Output Voltage Swing $T_{amb} = +25^{\circ}C$ $R_L = 2k\Omega$ $R_L = 10k\Omega$ $R_L = 2k\Omega$ $R_L = 10k\Omega$ $T_{min} \leq T_{amb} \leq T_{max}$	10 12 10 12	12 13.5		V
SR	Slew Rate $V_I = 10V, R_L = 2k\Omega, C_L = 100pF, T_{amb} = +25^{\circ}C$, unity gain	12	16		V/ μ s
t_r	Rise Time $V_I = 20mV, R_L = 2k\Omega, C_L = 100pF, T_{amb} = +25^{\circ}C$, unity gain		0.1		μ s
K_{ov}	Overshoot $V_I = 20mV, R_L = 2k\Omega, C_L = 100pF, T_{amb} = +25^{\circ}C$, unity gain		10		%
GBP	Gain Bandwidth Product $f = 100kHz, T_{amb} = +25^{\circ}C, V_{in} = 10mV, R_L = 2k\Omega, C_L = 100pF$	2.5	4		MHz
R_I	Input Resistance		10^{12}		Ω
THD	Total Harmonic Distortion ($f = 1kHz, A_v = 20dB$ $R_L = 2k\Omega, C_L = 100pF, T_{amb} = +25^{\circ}C, V_o = 2V_{pp}$)		0.01		
e_n	Equivalent Input Noise Voltage $R_S = 100\Omega, f = 1kHz$		15		$\frac{nV}{\sqrt{Hz}}$
\emptyset_m	Phase Margin		45		Degrees

1. The input bias currents are junction leakage currents which approximately double for every $10^{\circ}C$ increase in the junction temperature.**MAXIMUM PEAK-TO-PEAK OUTPUT**

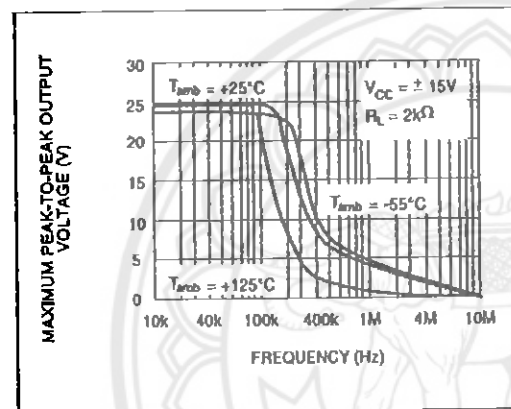
VOLTAGE versus FREQUENCY



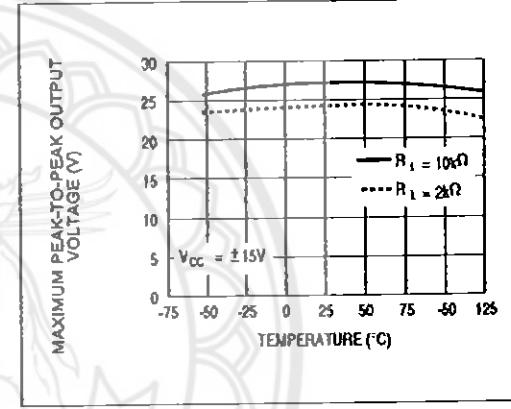
VOLTAGE versus FREQUENCY



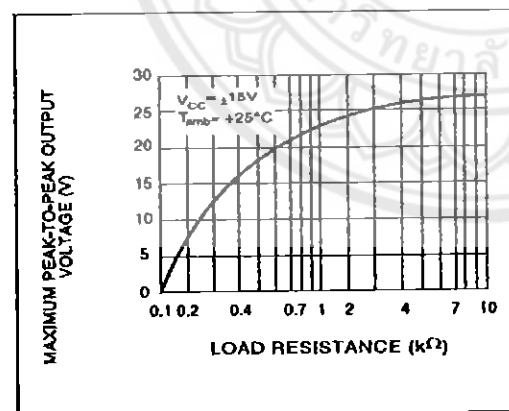
MAXIMUM PEAK-TO-PEAK OUTPUT VOLTAGE versus FREQUENCY



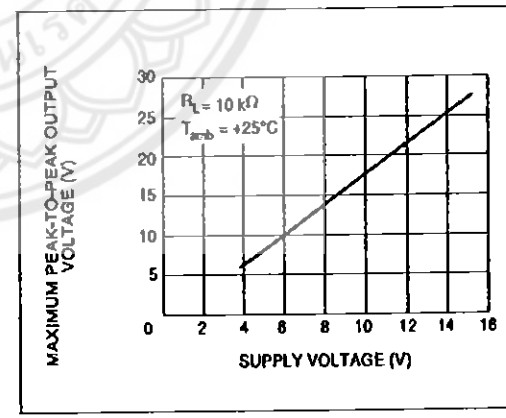
MAXIMUM PEAK-TO-PEAK OUTPUT VOLTAGE versus FREE AIR TEMP.



MAXIMUM PEAK-TO-PEAK OUTPUT VOLTAGE versus LOAD RESISTANCE

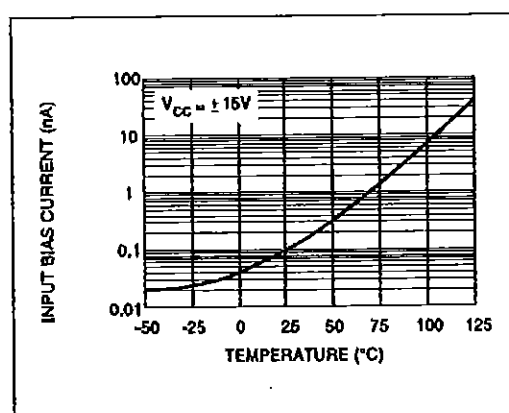
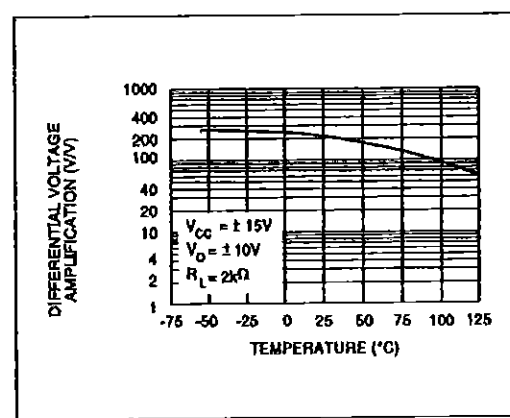
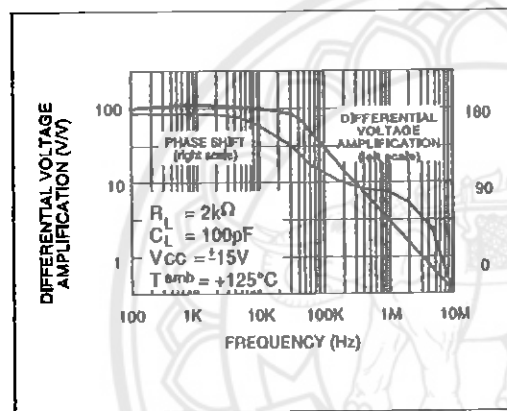
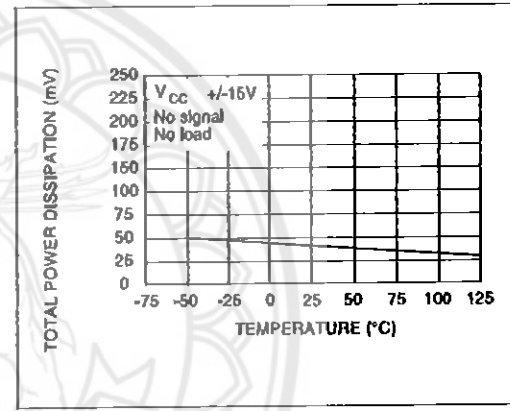
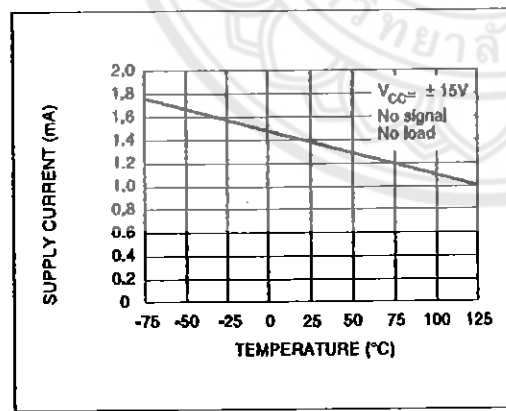
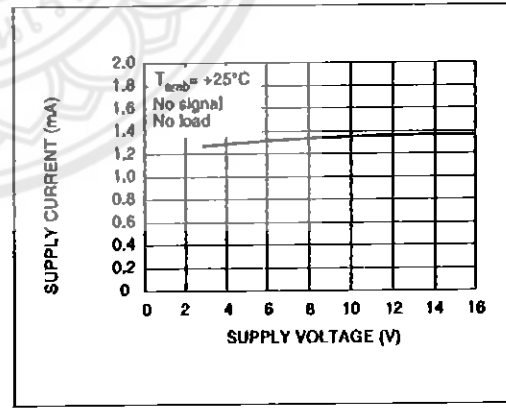


MAXIMUM PEAK-TO-PEAK OUTPUT VOLTAGE versus SUPPLY VOLTAGE

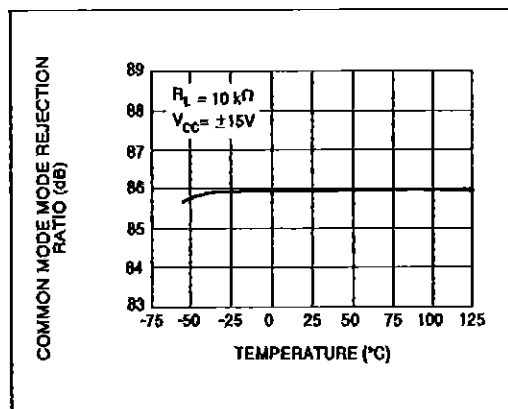


MAXIMUM PEAK-TO-PEAK OUTPUT

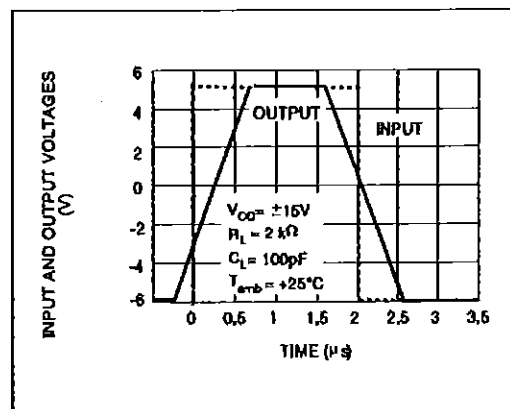
INPUT BIAS CURRENT versus FREE AIR

TEMPERATURE**AMPLIFICATION versus FREE AIR TEMP.****LARGE SIGNAL DIFFERENTIAL VOLTAGE AMPLIFICATION AND PHASE SHIFT versus FREQUENCY****TOTAL POWER DISSIPATION versus FREE AIR TEMPERATURE****SUPPLY CURRENT PER AMPLIFIER versus FREE AIR TEMPERATURE****SUPPLY CURRENT PER AMPLIFIER versus SUPPLY VOLTAGE****LARGE SIGNAL DIFFERENTIAL VOLTAGE****COMMON MODE REJECTION RATIO versus**

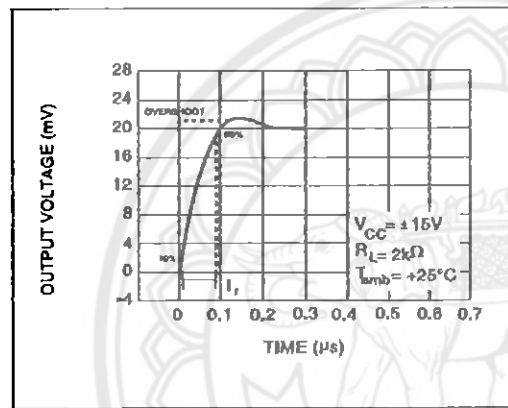
FREE AIR TEMPERATURE



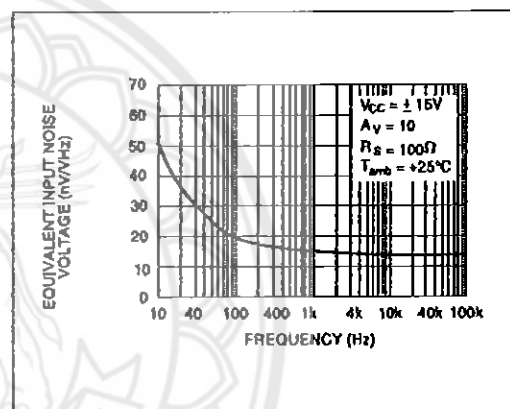
VOLTAGE FOLLOWER LARGE SIGNAL PULSE RESPONSE



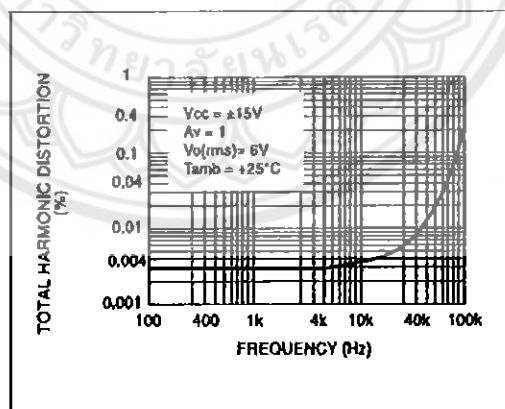
OUTPUT VOLTAGE versus ELAPSED TIME

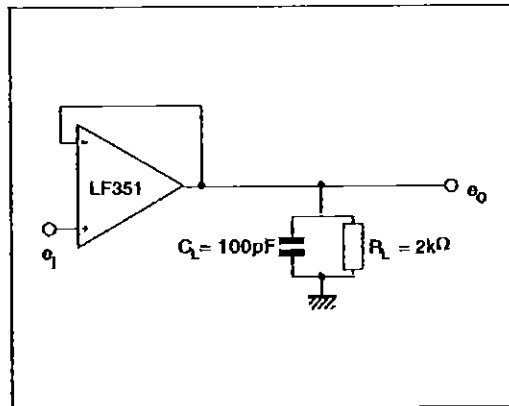
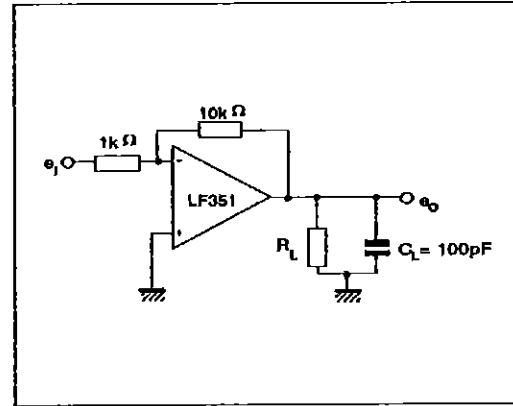
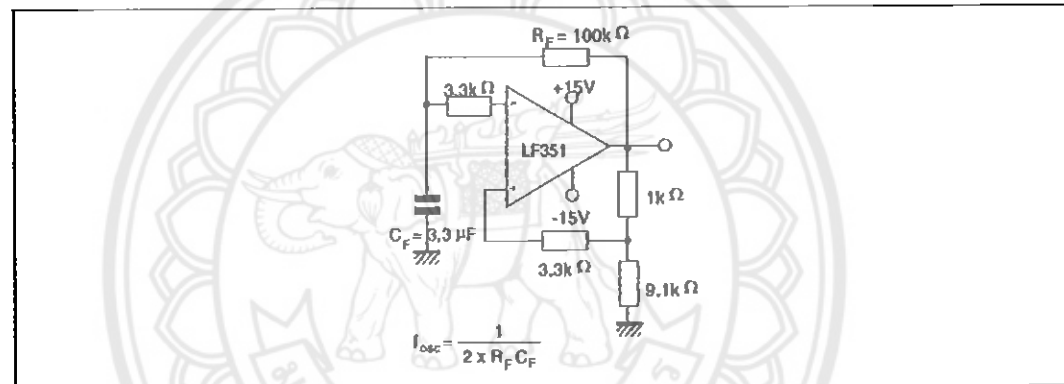
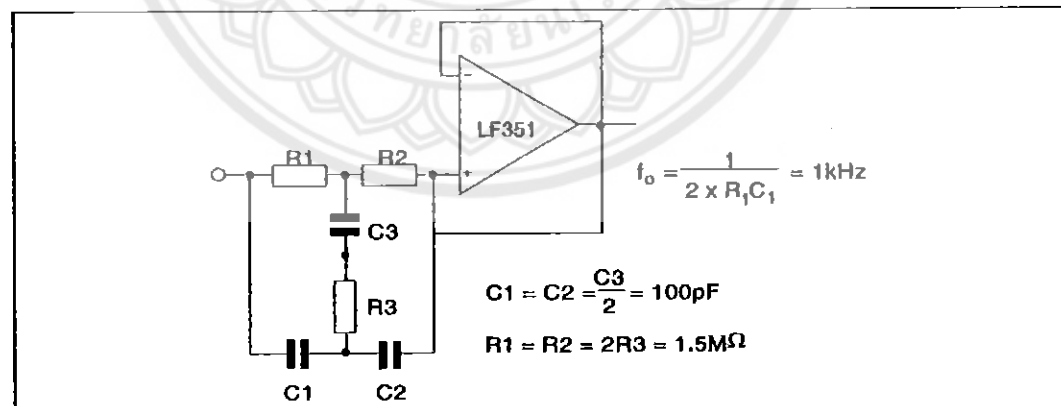


EQUIVALENT INPUT NOISE VOLTAGE versus FREQUENCY

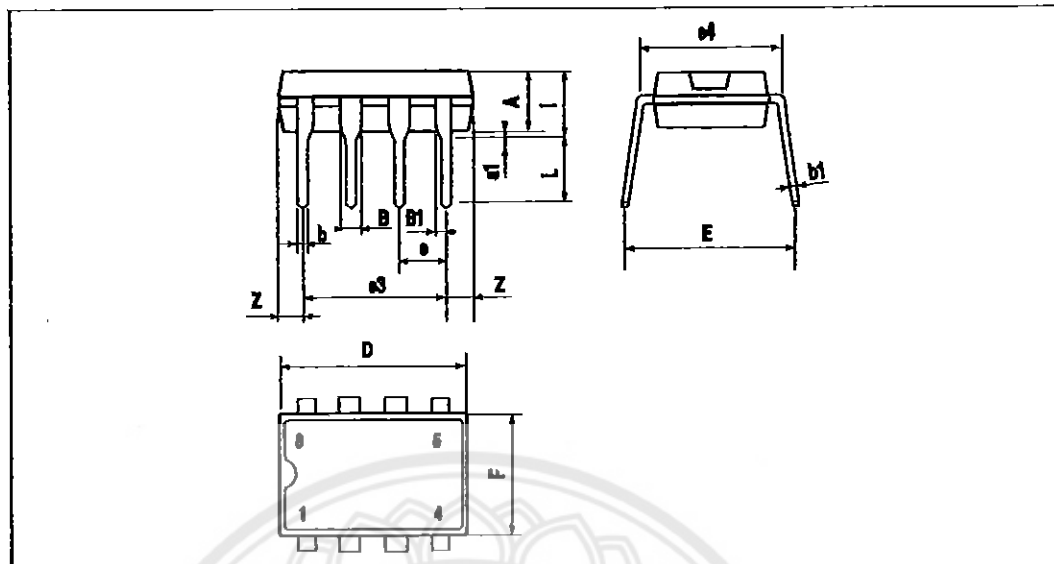


TOTAL HARMONIC DISTORTION versus FREQUENCY



PARAMETER MEASUREMENT INFORMATION**Figure 1 : Voltage Follower****Figure 2 : Gain-of-10 inverting amplifier****TYPICAL APPLICATION****(0.5Hz) SQUARE WAVE OSCILLATOR****HIGH Q NOTCH FILTER**

PACKAGE MECHANICAL DATA
8 PINS - PLASTIC DIP



Dim.	Millimeters			Inches		
	Min.	Typ.	Max.	Min.	Typ.	Max.
A		3.32			0.131	
a1	0.51			0.020		
B	1.15		1.65	0.045		0.065
b	0.356		0.55	0.014		0.022
b1	0.204		0.304	0.008		0.012
D			10.92			0.430
E	7.95		9.75	0.313		0.384
e		2.54			0.100	
e3		7.62			0.300	
e4		7.62			0.300	
F			6.6			0.260
i			5.08			0.200
L	3.18		3.81	0.125		0.150
Z			1.52			0.060

ประวัติผู้ดำเนินโครงการ



ชื่อ นายเอกพจน์ อุ่มเจี๊ยะ
 ภูมิลำเนา 341 หมู่ 7 ต. หนองกรด อ. บรรพตพิสัย จ. นครสวรรค์
 ประวัติการศึกษา

- จบระดับมัธยมศึกษาจากโรงเรียนหนองกรดพิทยาคม
จ.นครสวรรค์
- ปัจจุบันกำลังศึกษาระดับปริญญาตรีชั้นปีที่ 4
สาขาวิชาวิศวกรรมไฟฟ้า คณะวิศวกรรมศาสตร์
มหาวิทยาลัยนเรศวร

Email: tum_ee@hotmail.com



ชื่อ นายสุรพงษ์ มะหลีแก้ว
 ภูมิลำเนา 41 หมู่ 13 ต. เถินบุรี อ. เถิน จ. ลำปาง
 ประวัติการศึกษา

- จบระดับมัธยมศึกษาจากโรงเรียนเถินวิทยา
จ.ลำปาง
- ปัจจุบันกำลังศึกษาระดับปริญญาตรีชั้นปีที่ 4
สาขาวิชาวิศวกรรมไฟฟ้า คณะวิศวกรรมศาสตร์
มหาวิทยาลัยนเรศวร

Email: crystal_27@live.com